



DIREZIONE REGIONALE PER LA SICILIA

PA 12/09

CORRIDOIO PLURIMODALE TIRRENICO - NORD EUROPA ITINERARIO AGRIGENTO - CALTANISSETTA - A19 S.S. N° 640 "DI PORTO EMPEDOCLE" AMMODERNAMENTO E ADEGUAMENTO ALLA CAT. B DEL D.M. 5.11.2001 Dal km 44+000 allo svincolo con l'A19

VARIANTE TECNICA N°4

ai sensi dell'art. 176, comma 5, secondo periodo lettera "a" e lettera "b", del D.Lgs. N. 163/2006 e Art. 11 del CSA-NG

CONTRAENTE GENERALE



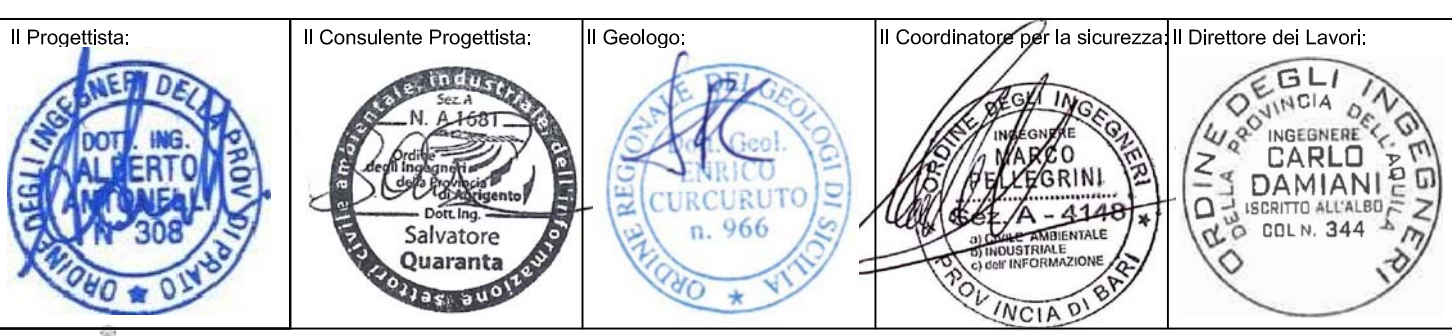
DIRETTORE DEI LAVORI Ing. CARLO DAMIANI

LAVORI DI RISANAMENTO **DELLA VIA BORREMANS** DEL COMUNE DI CALTANISSETTA

> RELAZIONE DI CALCOLO **GABBIONATA GB.02**



Codice Unico Progetto (CUP): F91B09000070001						6757-100
Cod	Codice Elaborato:					
PA	PA12_09 - V GE204UP056CL0011					Scala:
F						
Е						
D						
С						
В	Aprile 2021	AGGIORNAMENTO CARTIGLIO	G. QUARANTA	S. QUARANTA	A. ANTONELLI	A. FINAMORE
Α	Dicembre 2018	EMISSIONE	G. QUARANTA	A. ANTONELLI	A. ANTONELLI	P. PAGLINI
REV.	DATA	DESCRIZIONE	REDATTO	VERIFICATO	APPROVATO	AUTORIZZATO



Responsabile del procedimento: Ing. LUIGI MUPO

Verifiche condotte in accordo alla normativa : Norme tecniche per le costruzioni D.M. 17/01/2018 Verifiche nei confronti dello SLU

SOMMARIO

Sommario

1. G	ENERALITA`	2
1.1.	PREMESSA	2
2. N	IORMATIVE DÌ RIFERIMENTO	3
3. D	DESCRIZIONE DELL'OPERA	4
4. S	TRATIGRAFIE TERRENI	7
5. C	CARATTERISTICHE GEOTECNICHE DEI TERRENI IN CU	11
6. P	ROFILI STRATIGRAFICI	12
7. N	MURI IN GABBIONI	12
8. C	CARICHI	13
9. V	ERIFICHE	14
9.1	Verifica di stabilità globale : M2 + R2 + Kh±Kv	14
9.2.	Verifica di stabilità globale : A2 + M2 + R2	15
9.3.	Verifica di stabilità globale : A1 + M1 + R1	16
9.4.	Verifica come muro di sostegno : M2 + R2 + Kh±Kv	17
9.5.	Verifica come muro di sostegno : EQU + M2 + Kh±Kv	17
9.6.	Verifica come muro di sostegno : M1 + R1 + Kh±Kv	19
9.7.	. Verifica di stabilità interna : M1 + R1 + Kh±Kv	20
10.	CARATTERISTICHE GEOTECNICHE DEI TERRENI IN CD	21
11.	PROFILI STRATIGRAFICI	22
12.	MURI IN GABBIONI	22
13.	CARICHI	23
14.	VERIFICHE	24
14.1	Verifica di stabilità globale : M2 + R2 + Kh±Kv	24
14.2	2 Verifica di stabilità globale: A2 + M2 + R2	24
14.3	3 Verifica di stabilità globale : A1 + M1 + R1	25
14.4		
14.5	5 Verifica come muro di sostegno : M1 + R1 + Kh±Kv	28
14.6	6 Verifica di stabilità interna : M1 + R1 + Kh±Kv	29

1. GENERALITA`

1.1. PREMESSA

La presente relazione attiene al progetto esecutivo dei lavori degli interventi di riqualifica e di miglioramento della carreggiata stradale della Via Borremans (ex 122 bis) nel Comune di Caltanissetta.



Figura 1- Inquadramento

La SS 122 bis originava nel centro storico di Caltanissetta e precisamente in piazza Garibaldi, in corrispondenza dell'incrocio con corso Vittorio Emanuele, il quale costituisce il tratto urbano della strada statale 122 Agrigentina. La gestione della SS 122 bis dall'incrocio con il Corso Vittorio Emanuele sino allo svincolo di Caltanissetta XIRBI sulla SS 640 "Strada degli scrittori" è stata trasferita in capo all'Amministrazione Comunale, pertanto oggi il tracciato originario assume una diversa toponomastica sviluppandosi secondo il percorso di corso Umberto e di un tratto di via Redentore, quindi prosegue per via Messina sino alla via Borremans, oggetto della presente relazione.

La via Borremans si diparte dalla periferia nord occidentale della Città di Caltanissetta percorrendo il versante nord-occidentale del monte San Giuliano per circa 4 Km.

Il percorso è caratterizzato da pendenze più o meno accentuate. Dopo un primo tratto in salita, ricadente all'interno del perimetro abitato della città, inizia un tratto in discesa con una forte pendenza che attraversa le contrade San Giuliano, La Spia e Abbazia Santuzza, fino allo svincolo con la strada statale 640 Strada degli Scrittori.

La sezione stradale caratterizzata da una carreggiata di circa 7 metri e si sviluppa per la stragrande maggioranza del tracciato a mezza costa.

2. NORMATIVE DÌ RIFERIMENTO

[1] Legge nr. 1086 del 05/11/1971.

Norme per la disciplina delle opere in conglomerato cementizio, normale e precompresso ed a struttura metallica.

[2] Legge nr. 64 del 02/02/1974.

Provvedimenti per le costruzioni con particolari prescrizioni per le zone sismiche.

[3] D.M. LL.PP. del 11/03/1988.

Norme tecniche riguardanti le indagini sui terreni e sulle rocce, la stabilità dei pendii naturali e delle scarpate, i criteri generali e le prescrizioni per la progettazione, l'esecuzione e il collaudo delle opere di sostegno delle terre e delle opere di fondazione.

[4] D.M. LL.PP. del 14/02/1992.

Norme tecniche per l'esecuzione delle opere in cemento armato normale e precompresso e per le strutture metalliche.

[5] D.M. 9 Gennaio 1996

Norme Tecniche per il calcolo, l'esecuzione ed il collaudo delle strutture in cemento armato normale e precompresso e per le strutture metalliche.

[6] D.M. 16 Gennaio 1996

Norme Tecniche relative ai 'Criteri generali per la verifica di sicurezza delle costruzioni e dei carichi e sovraccarichi'.

[7] D.M. 16 Gennaio 1996

Norme Tecniche per le costruzioni in zone sismiche.

[8] Circolare Ministero LL.PP. 15 Ottobre 1996 N. 252 AA.GG./S.T.C.

Istruzioni per l'applicazione delle Norme Tecniche di cui al D.M. 9 Gennaio 1996.

[9] Circolare Ministero LL.PP. 10 Aprile 1997 N. 65/AA.GG.

Istruzioni per l'applicazione delle Norme Tecniche per le costruzioni in zone sismiche di cui al D.M. 16 Gennaio 1996.

[10] Circolare 617 del 02/02/2009

Istruzioni per l'applicazione delle Nuove Norme Tecniche per le Costruzioni di cui al D.M. 14 gennaio 2008.

[11] D.M. 17 Gennaio 2018

Aggiornamento delle «Norme tecniche per le costruzioni».Norme Tecniche per le Costruzioni 2018

[12] Circolare N.7 del 21/01/2019

Istruzioni per l'applicazione dell'«Aggiornamento delle "Norme tecniche per le costruzioni"» di cui al D.M 17 gennaio 2018.

3. DESCRIZIONE DELL'OPERA

La presente relazione di calcolo strutturale descrive le opere di contenimento previste nel progetto di consolidamento del rilevato stradale, ed in dettaglio delle opere previste tra la sezione 336 e la sezione 341 (tra la progressiva 3+350,00 lato sinistro p.c. e la progressiva 3+399,15 lato sinistro p.c.), attraverso la realizzazione di una gabbionata realizzata con gabbioni metallici (2.00*1.00*1.00) e pietrame calcareo, denominata GB02.

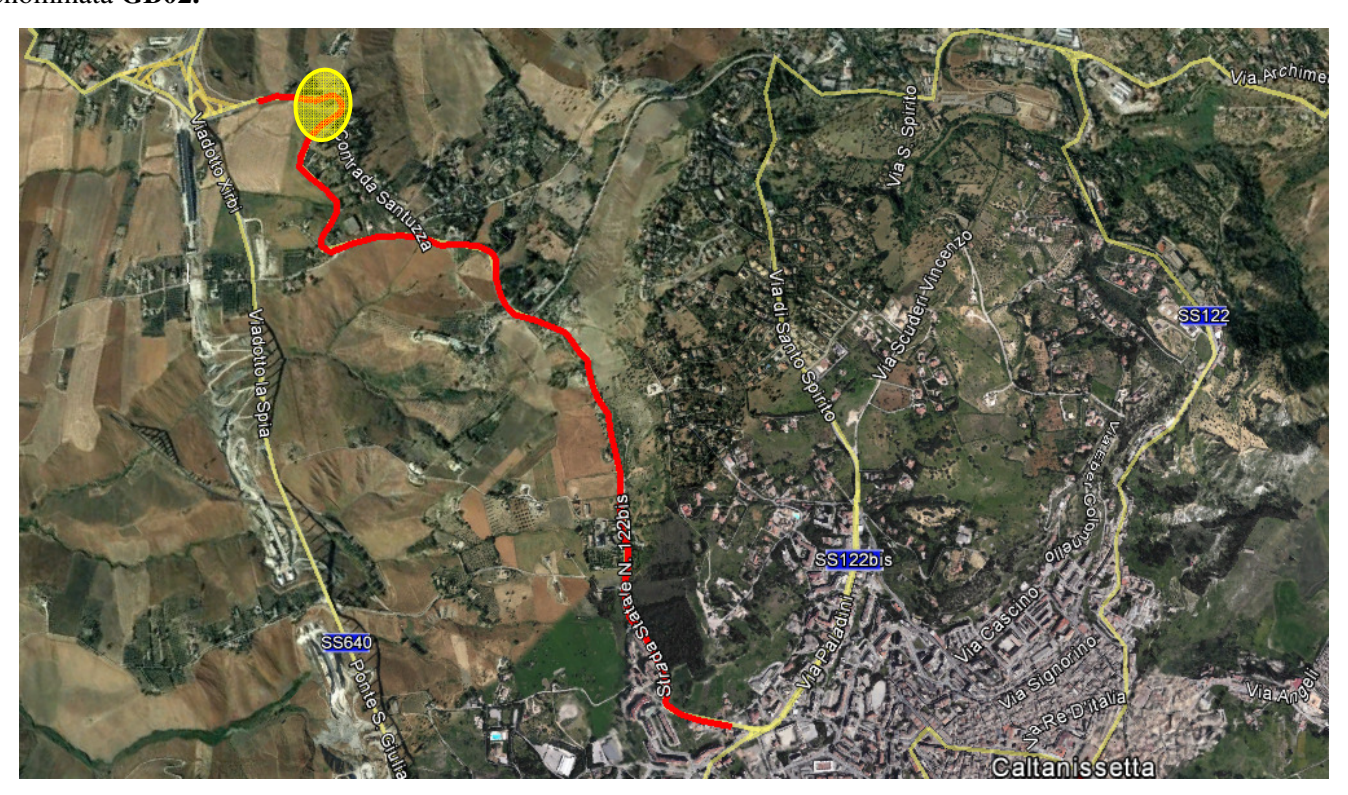


Figura 2- Ubicazione intervento

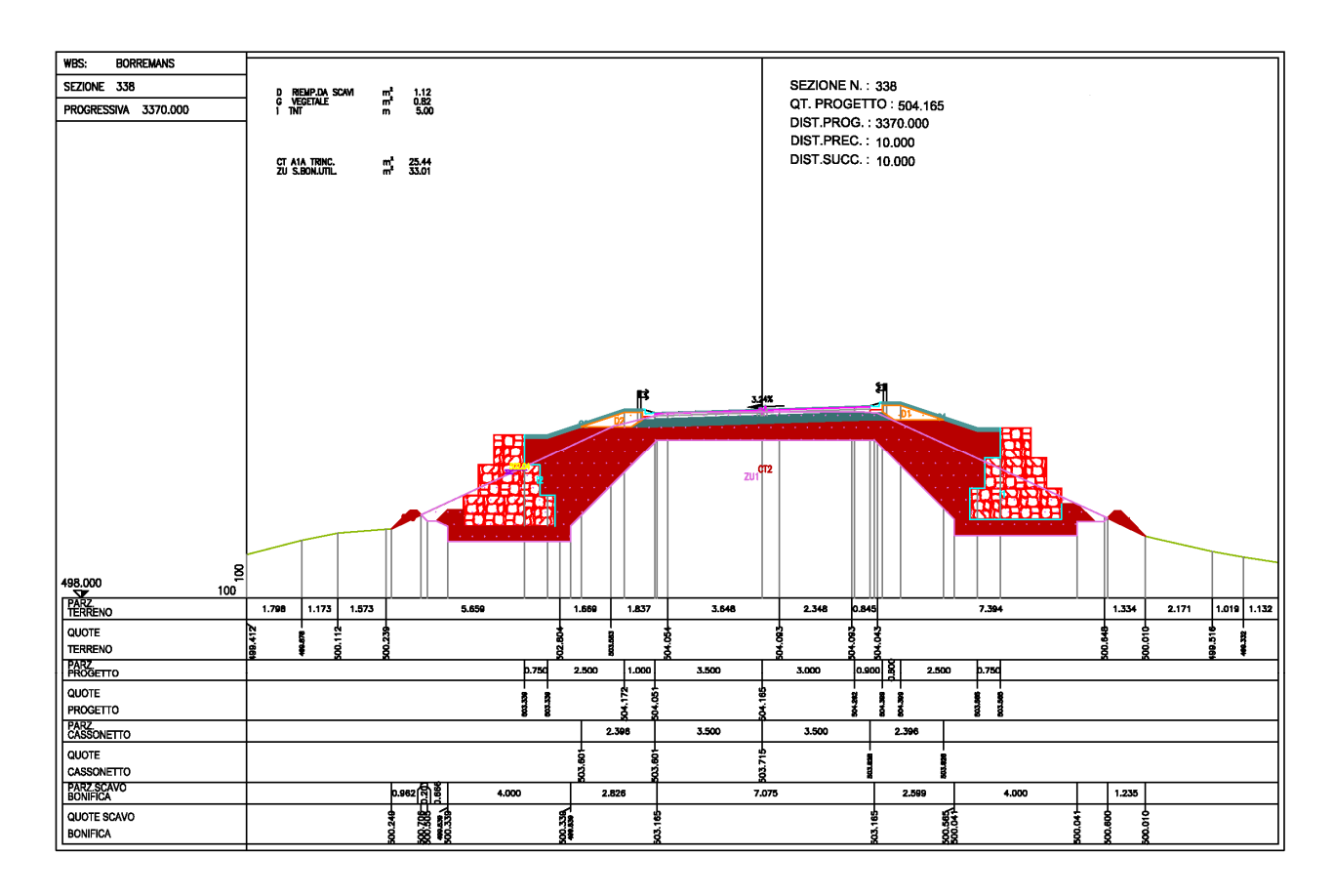


Figura 3- Sezione gabbionata GB02

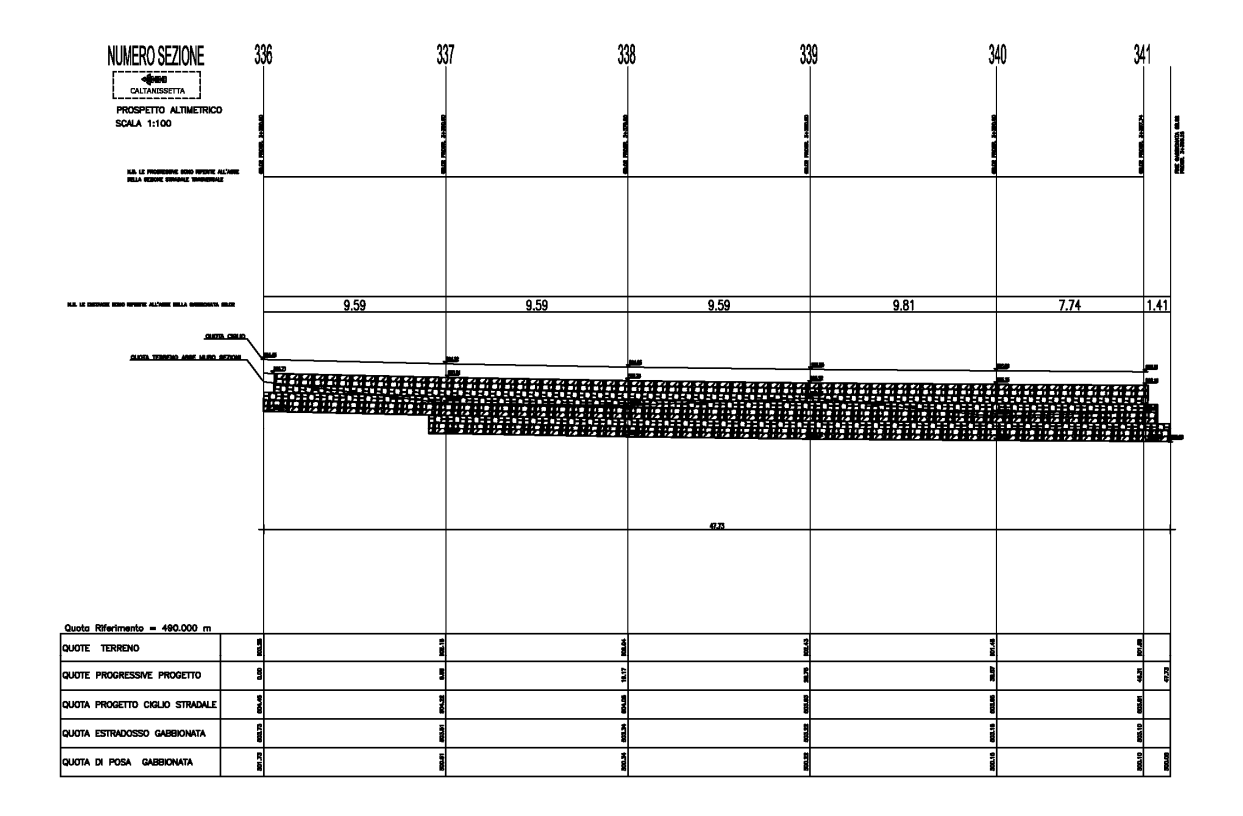


Figura 4 - Prospetto GB02

L'opera in oggetto, come detto in precedenza, si svilupperà tra la sezione **336** e la sezione **341** lato sinistro (tra la progressiva 3+350,00 lato sinistro p.c. e la progressiva 3+399,15 lato sinistro p.c.), per uno sviluppo di circa 47,73 mt. ed in particolare avrà una altezza di 2 metri a partire dalla sezione 336 per una lunghezza di 8.71 mt, mentre dalla sezione 337 circa alla sezione 341 si svilupperà con una altezza di 3 metri.

4. STRATIGRAFIE TERRENI

Per definire l'intervento, si è proceduto ad una accurata campagna di indagini al fine di determinare le caratteristiche meccaniche e la stratigrafia del terreno che interessa la sede stradale esistente, nel tratto presso via Borremans (SS112 bis) a Caltanissetta. Le indagini sono state effettuate dalla ditta **GEO GAV srl**. In particolare sono state effettuate:

- una prova MASW, che ha confermato la tipologia di suolo C;
- n. 10 sondaggi verticali (S1, S2, S3, S4, S5, S5A, S6, S6.1, S7, S8,) con estrazione di campioni indisturbati;
- la realizzazione di due Inclinometri (S01, e S5A);

In dettaglio, sono stati realizzati i seguenti sondaggi:

Sondaggio	Prof.	Diam.	Metodo		pioni evati	Prove in foro	Strumentazione	Sistema Co WGS		Note
N	m	mm		Rim.	Ind.		Installata	N	E	
51	20,00	101	Carotaggio continuo	-	3	-	Inclinometro	37°30′10.19″	14°03′20.76″	
52	15,00	101	Carotaggio continuo	-	3	-	-	37°30′22.93″	14°03′34.52″	
53	15,00	101	Carotaggio continuo	-	3	-	-	37°30′39.79″	14°03′35.89″	
54	20,00	101	Carotaggio continuo	-	3	-	-	37°30′53.02″	14°03′32.15″	
S 5	20,00	101	Carotaggio continuo	-	3	-	-	37°30′53.02″	14°03′32.15″	
55A	20,00	101	Carotaggio continuo	-	3	-	Inclinometro	37°30′55.25″	14°03′25.06″	
56	20,00	101	Carotaggio continuo	-	3	-	-	37°30'58.91"	14° 3'25.42"	
56.1	20,00	101	Carotaggio continuo	-	3	-	-	37°30′53.02″	14°03′32.15″	
57	15,00	101	Carotaggio continuo	-	3	-	-	37°31′07.72″	14°03′32.21″	
58	15,00	101	Carotaggio continuo	-	3	-	-	37°31′14.53″	14°03′32.59″	

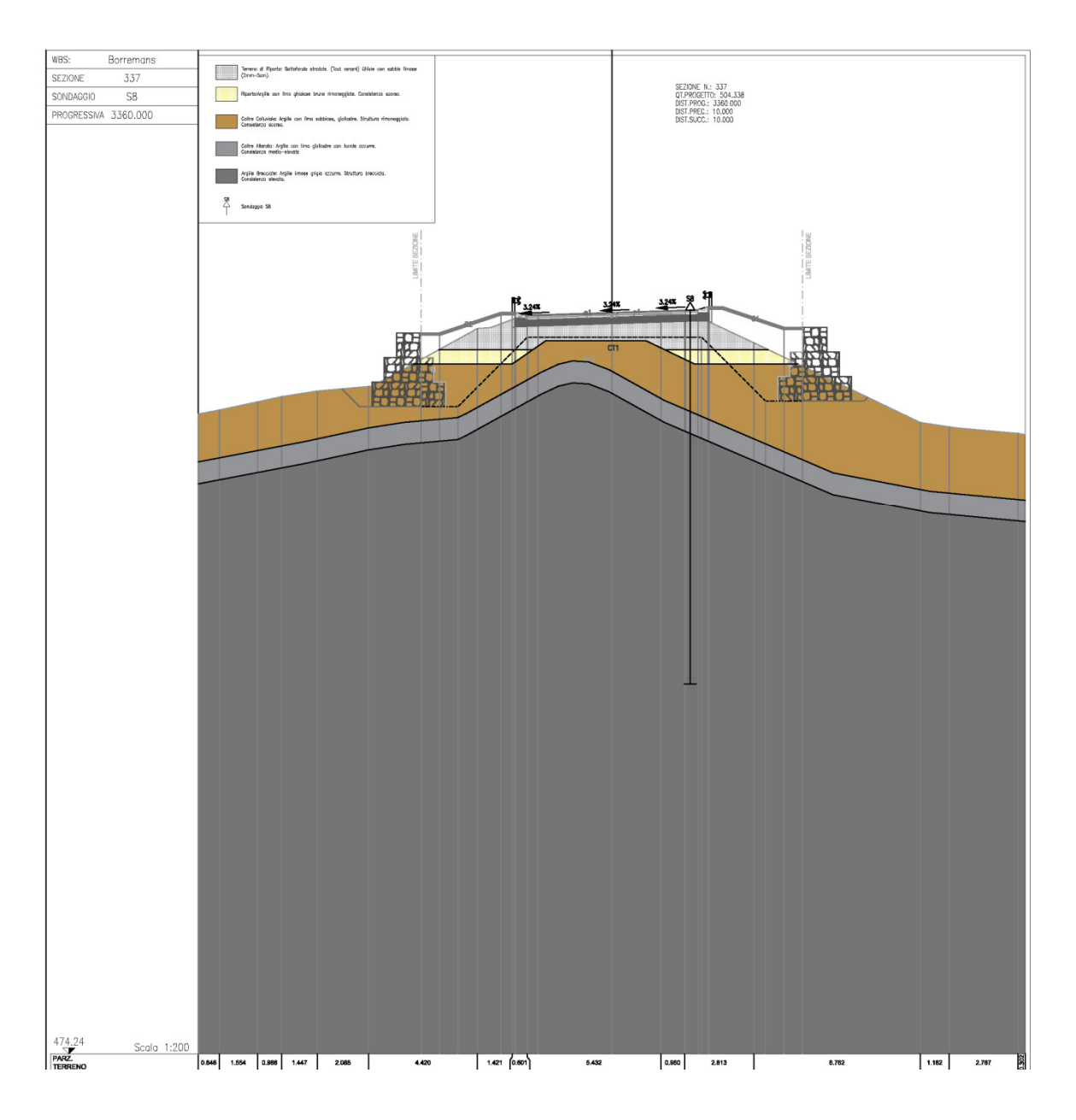
Le indagini in sito e le prove di laboratorio eseguite hanno consentito di caratterizzare ai fini geotecnici l'area in esame.

Nelle verifiche strutturali, per la valutazione dei parametri geotecnici per l'opera in oggetto, si è fatto riferimento al Sondaggio S8.



5 - Planimetria ubicazioni indagini

La stratigrafia dall'alto verso il basso, desunta dalla relazione gologica redatta dal Dott. E. Curcuruto, è la seguente:



6 - Sezione geologica

	MODELLO GEOTECNICO				
Strato n°	Profondità (m)	Litotipo	Parametri Geotecnici		
			$\gamma = 18.00 \text{ kN/mc}$		
1		Rilevato (da ricostruire)	φ' =28.0°		
1	Altezza gabbione	Kilevato (da licostrulie)	Cu = 0.00 kPa		
			c' = 0.0 kPa		
	2.50-4.20		$\gamma = 19.27 \text{ kN/mc}$		
2		Argille con limo giallastre (FC2S8)	Cu = 108.0 kPa		
2			c' = 47.8 kPa		
			φ' =28.5°		
		A 211 - 1 2-4 2-2	$\gamma = 19.65 \text{ kN/mc}$		
2	Da 5.50	Argille brecciate grigio azzurre	Cu = 108.0 kPa		
3	Da 5.50	(riferimento Parametri FC3S8)	c' = 9.0 kPa		
			φ' =21.7°		

In seguito alla **prova geofisica diretta** di tipo **MASW** è stato possibile, in corrispondenza del punto di indagine, determinare la velocità di propagazione media delle onde Vs entro i primi 30 metri di terreno attraversato (Vs30).

Secondo quanto riportato nella Tabella 3.2.II – (Categorie di sottosuolo che permettono l'utilizzo dell'approccio semplificato) del D.M. 17/01/2018, che prevede l'utilizzo della velocità equivalente Vs30 di propagazione delle onde di taglio entro i primi 30 m per la classificazione dei suoli, l'area oggetto di studio si colloca **in Categoria C**, Depositi di terreni a grana grossa mediamente addensati o terreni a grana fina mediamente consistenti con profondità del substrato superiori a 30 m, caratterizzati da un miglioramento delle proprietà meccaniche con la profondità e da valori di velocità equivalente compresi tra 180 m/s e 360 m/s.

5. CARATTERISTICHE GEOTECNICHE DEI TERRENI IN CU

Terreno : AR Descrizione : ARGILLA BRECCITA GRIGIO Classe coesione : Coeff. Parziale - Resistenza non drenata	SCURE
Coesione : Coerr. Parziale - Resistenza non drenata : [t/m²] ::	10.60
Classe d'attrito : Coeff. Parziale - tangente dell'angolo di resister	nza a taglio
	0.00
Angolo d'attrito [°] : Rapporto di pressione interstiziale (Ru) :	0.00
Classe di peso : Coeff. Parziale - Peso dell'unità di volume - sfav	rorevole
Peso specifico sopra falda [t/m³] :	2.72
Peso specifico in falda [t/m³] ::	1.96
Modulo elastico [t/m²] :	0.00
Coefficiente di Poisson ::	0.30
Terreno : GAB Descrizione : GABBIONI	
Classe coesione : Coeff. Parziale - Coesione efficace	
Coesione $[t/m^2]$:	1.70
Classe d'attrito : Coeff. Parziale - tangente dell'angolo di resister	ıza a taglio
Angolo d'attrito[°]:	40.00
Rapporto di pressione interstiziale (Ru):	0.00
Classe di peso : Coeff. Parziale - Peso dell'unità di volume - favo	
Peso specifico sopra falda [t/m³] :	1.90
Peso specifico in falda [t/m³] :	1.90
Modulo elastico [t/m²] :	0.00
Coefficiente di Poisson:	0.30
Terreno : LG Descrizione : LIMO GRIGIASTRO	
Classe coesione : Coeff. Parziale - Coesione efficace	
Classe coesione : Coeff. Parziale - Coesione efficace Coesione [t/m²] :	0.01
Classe coesione : Coeff. Parziale - Coesione efficace Coesione [t/m²] : Classe d'attrito : Coeff. Parziale - tangente dell'angolo di resister	nza a taglio
Classe coesione : Coeff. Parziale - Coesione efficace Coesione [t/m²] : Classe d'attrito : Coeff. Parziale - tangente dell'angolo di resister Angolo d'attrito [°] :	nza a taglio 20.00
Classe coesione : Coeff. Parziale - Coesione efficace Coesione [t/m²] : Classe d'attrito : Coeff. Parziale - tangente dell'angolo di resister Angolo d'attrito [°] : Rapporto di pressione interstiziale (Ru) :	nza a taglio 20.00 0.00
Classe coesione : Coeff. Parziale - Coesione efficace Coesione	nza a taglio 20.00 0.00 orevole
Classe coesione : Coeff. Parziale - Coesione efficace Coesione [t/m²] : Classe d'attrito : Coeff. Parziale - tangente dell'angolo di resister Angolo d'attrito [°] : Rapporto di pressione interstiziale (Ru) : Classe di peso : Coeff. Parziale - Peso dell'unità di volume - favo Peso specifico sopra falda [t/m³] :	nza a taglio 20.00 0.00 orevole 1.80
Classe coesione : Coeff. Parziale - Coesione efficace Coesione [t/m²] : Classe d'attrito : Coeff. Parziale - tangente dell'angolo di resister Angolo d'attrito [°] : Rapporto di pressione interstiziale (Ru) : Classe di peso : Coeff. Parziale - Peso dell'unità di volume - favo Peso specifico sopra falda [t/m³] : Peso specifico in falda [t/m³] :	nza a taglio 20.00 0.00 orevole 1.80 1.80
Classe coesione : Coeff. Parziale - Coesione efficace Coesione [t/m²] : Classe d'attrito : Coeff. Parziale - tangente dell'angolo di resister Angolo d'attrito [°] : Rapporto di pressione interstiziale (Ru) : Classe di peso : Coeff. Parziale - Peso dell'unità di volume - favo Peso specifico sopra falda [t/m³] : Peso specifico in falda [t/m³] : Modulo elastico [t/m²] :	nza a taglio 20.00 0.00 orevole 1.80 1.80 0.00
Classe coesione : Coeff. Parziale - Coesione efficace Coesione [t/m²] : Classe d'attrito : Coeff. Parziale - tangente dell'angolo di resister Angolo d'attrito [°] : Rapporto di pressione interstiziale (Ru) : Classe di peso : Coeff. Parziale - Peso dell'unità di volume - favo Peso specifico sopra falda [t/m³] : Peso specifico in falda [t/m³] :	nza a taglio 20.00 0.00 orevole 1.80 1.80
Classe coesione : Coeff. Parziale - Coesione efficace Coesione [t/m²] :: Classe d'attrito : Coeff. Parziale - tangente dell'angolo di resister Angolo d'attrito [°] :: Rapporto di pressione interstiziale (Ru) :: Classe di peso : Coeff. Parziale - Peso dell'unità di volume - favo Peso specifico sopra falda [t/m³] :: Peso specifico in falda [t/m³] :: Modulo elastico [t/m²] :: Coefficiente di Poisson : ARGILLE CON LIMO SABBIOS	20.00 20.00 0.00 orevole 1.80 1.80 0.00 0.30
Classe coesione : Coeff. Parziale - Coesione efficace Coesione [t/m²] :: Classe d'attrito : Coeff. Parziale - tangente dell'angolo di resister Angolo d'attrito [°] :: Rapporto di pressione interstiziale (Ru) : Classe di peso : Coeff. Parziale - Peso dell'unità di volume - favo Peso specifico sopra falda [t/m³] :: Peso specifico in falda [t/m³] :: Modulo elastico [t/m²] :: Coefficiente di Poisson : ARGILLE CON LIMO SABBIOS Classe coesione : Coeff. Parziale - Resistenza non drenata	nza a taglio 20.00 0.00 orevole 1.80 1.80 0.00 0.30
Classe coesione : Coeff. Parziale - Coesione efficace Coesione [t/m²] :: Classe d'attrito : Coeff. Parziale - tangente dell'angolo di resister Angolo d'attrito [°] :: Rapporto di pressione interstiziale (Ru) : Classe di peso : Coeff. Parziale - Peso dell'unità di volume - favo Peso specifico sopra falda [t/m³] :: Peso specifico in falda [t/m³] :: Modulo elastico [t/m²] :: Coefficiente di Poisson : ARGILLE CON LIMO SABBIOS Classe coesione : Coeff. Parziale - Resistenza non drenata Coesione [t/m²] ::	20.00 20.00 0.00 0.00 0.00 1.80 0.00 0.30 SE GIALLASTRO 10.80
Classe coesione : Coeff. Parziale - Coesione efficace Coesione [t/m²] : Classe d'attrito : Coeff. Parziale - tangente dell'angolo di resister Angolo d'attrito [°] : Rapporto di pressione interstiziale (Ru) : Classe di peso : Coeff. Parziale - Peso dell'unità di volume - favo Peso specifico sopra falda [t/m³] : Peso specifico in falda [t/m³] : Modulo elastico [t/m²] : Coefficiente di Poisson : Coeff. Parziale - Resistenza non drenata Coesione [t/m²] : Classe d'attrito : Coeff. Parziale - tangente dell'angolo di resister	20.00 20.00 0.00 0.00 0.00 1.80 0.00 0.30 SE GIALLASTRO 10.80 aza a taglio
Classe coesione : Coeff. Parziale - Coesione efficace Coesione [t/m²] : Classe d'attrito : Coeff. Parziale - tangente dell'angolo di resister Angolo d'attrito [°] : Rapporto di pressione interstiziale (Ru) : Classe di peso : Coeff. Parziale - Peso dell'unità di volume - favo Peso specifico sopra falda [t/m³] : Peso specifico in falda [t/m³] : Modulo elastico [t/m²] : Coefficiente di Poisson : Coeff. Parziale - Resistenza non drenata Coesione [t/m²] : Classe d'attrito : Coeff. Parziale - tangente dell'angolo di resister	20.00 20.00 0.00 0revole 1.80 1.80 0.00 0.30 SE GIALLASTRO 10.80 nza a taglio 0.00
Classe coesione : Coeff. Parziale - Coesione efficace Coesione [t/m²] : Classe d'attrito : Coeff. Parziale - tangente dell'angolo di resister Angolo d'attrito [°] : Rapporto di pressione interstiziale (Ru) : Classe di peso : Coeff. Parziale - Peso dell'unità di volume - favo Peso specifico sopra falda [t/m³] : Peso specifico in falda [t/m³] : Modulo elastico [t/m²] : Coefficiente di Poisson : Coeff. Parziale - Resistenza non drenata Coesione : Coeff. Parziale - Resistenza non drenata Coesione [t/m²] : Classe d'attrito : Coeff. Parziale - tangente dell'angolo di resister Angolo d'attrito [°] : Rapporto di pressione interstiziale (Ru) :	20.00 20.00 0.00 0.00 0.00 1.80 0.00 0.30 SE GIALLASTRO 10.80 nza a taglio 0.00 0.00
Classe coesione : Coeff. Parziale - Coesione efficace Coesione [t/m²] :: Classe d'attrito : Coeff. Parziale - tangente dell'angolo di resister Angolo d'attrito [°] :: Rapporto di pressione interstiziale (Ru) : Classe di peso : Coeff. Parziale - Peso dell'unità di volume - favo Peso specifico sopra falda [t/m³] :: Peso specifico in falda [t/m³] :: Modulo elastico [t/m²] :: Coefficiente di Poisson : ARGILLE CON LIMO SABBIOS Classe coesione : Coeff. Parziale - Resistenza non drenata Coesione [t/m²] :: Classe d'attrito : Coeff. Parziale - tangente dell'angolo di resister Angolo d'attrito [°] :: Rapporto di pressione interstiziale (Ru) :: Classe di peso : Coeff. Parziale - Peso dell'unità di volume - favo Classe di peso : Coeff. Parziale - Peso dell'unità di volume - favo	20.00
Classe coesione : Coeff. Parziale - Coesione efficace Coesione [t/m²] :: Classe d'attrito : Coeff. Parziale - tangente dell'angolo di resister Angolo d'attrito [°] :: Rapporto di pressione interstiziale (Ru) : Classe di peso : Coeff. Parziale - Peso dell'unità di volume - favo Peso specifico sopra falda [t/m³] :: Peso specifico in falda [t/m³] :: Modulo elastico [t/m²] :: Coefficiente di Poisson : Coeff. Parziale - Resistenza non drenata Coesione [t/m²] :: Classe d'attrito : Coeff. Parziale - tangente dell'angolo di resister Angolo d'attrito [°] :: Rapporto di pressione interstiziale (Ru) : Classe di peso : Coeff. Parziale - Peso dell'unità di volume - favo Peso specifico sopra falda [t/m³] ::	20.00
Classe coesione : Coeff. Parziale - Coesione efficace Coesione [t/m²] :: Classe d'attrito : Coeff. Parziale - tangente dell'angolo di resister Angolo d'attrito [°] :: Rapporto di pressione interstiziale (Ru) : Classe di peso : Coeff. Parziale - Peso dell'unità di volume - favo Peso specifico sopra falda [t/m³] :: Peso specifico in falda [t/m³] :: Modulo elastico [t/m²] :: Coefficiente di Poisson : ARGILLE CON LIMO SABBIOS Classe coesione : Coeff. Parziale - Resistenza non drenata Coesione [t/m²] :: Classe d'attrito : Coeff. Parziale - tangente dell'angolo di resister Angolo d'attrito [°] :: Rapporto di pressione interstiziale (Ru) :: Classe di peso : Coeff. Parziale - Peso dell'unità di volume - favo Classe di peso : Coeff. Parziale - Peso dell'unità di volume - favo	20.00
Classe coesione : Coeff. Parziale - Coesione efficace Coesione [t/m²] :: Classe d'attrito : Coeff. Parziale - tangente dell'angolo di resister Angolo d'attrito [°] :: Rapporto di pressione interstiziale (Ru) : Classe di peso : Coeff. Parziale - Peso dell'unità di volume - favo Peso specifico sopra falda [t/m³] :: Peso specifico in falda [t/m³] :: Modulo elastico [t/m²] :: Coefficiente di Poisson : Coeff. Parziale - Resistenza non drenata Coesione [t/m²] :: Classe d'attrito : Coeff. Parziale - tangente dell'angolo di resister Angolo d'attrito [°] :: Rapporto di pressione interstiziale (Ru) : Classe di peso : Coeff. Parziale - Peso dell'unità di volume - favo Peso specifico sopra falda [t/m³] ::	20.00

Terreno : TR Classe coesione	Descrizione : RILEVATO : Coeff. Parziale - Coesione efficac	ce	
Coesione		[t/m²]:	0.00
Classe d'attrito	: Coeff. Parziale - tangente dell'ar	igolo di resistenz	a a taglio
Angolo d'attrito		[°]:	28.00
Rapporto di pressione i	nterstiziale (Ru)		0.00
Classe di peso	: Coeff. Parziale - Peso dell'unità d	di volume - sfavo	revole
Peso specifico sopra fal	da	[t/m³]:	1.83
Modulo elastico		[t/m²]:	0.00
			0.30
6.PROFILI ST	RATIGRAFICI		

Strato: STR1		Descrizion	ne: STR1				
Terreno : TR X	Y	Χ	Υ	Х	Y	Χ	Y
[m]	, [m]	[m]	[m]	[m]	[m]	[m]	[m]
6.75	0.00	7.75	0.00	10.25	0.85	18.25	0.85
Strato: STR2		Descrizion	ne: STR2				
Terreno : LM	.,	.,		.,	.,	.,	.,
X	Υ	X	Y	X	Υ	X	Υ
[m]	[m]	[m]	[m]	[m]	[m]	[m]	[m]
-2.00	-3.00	5.00	-2.00	7.00	-3.00	8.50	-3.00
11.30	-0.20	18.25	-0.20				
Strato: STR3 Terreno : AR		Descrizion	ne: STR3				
X	Υ	Х	Υ	Х	Υ	X	Υ
[m]	[m]	[m]	[m]	[m]	[m]	[m]	[m]
-2.00	-3.90	7.00	-3.60	18.25	-3.00		

7. MURI IN GABBIONI

Muro: BLOCCO1 Coordinate Origine Rotazione muro	[m]: Ascissa_ [°]=	=	5.00	Ordinata=	-3.00
Terreno	e riempimento gabbioni di riempimento a tergo di copertura	: T	R		
	di fondazione				
Strato	Lunghezza [m]	Altezza [m]		Distanza [m]	
1	3.00	1.00		0.00	
2	2.00	1.00		0.50	
3	1.00	1.00		1.00	

8. CARICHI

Pressione : CH Descrizione : carico stradale

Classe: Variabile - sfavorevole

Intensità $[t/m^2] = 2.00$ Inclinazione $[^{\circ}] = 0.00$

Ascissa_____[m] : Da = 10.30 To = 16.30

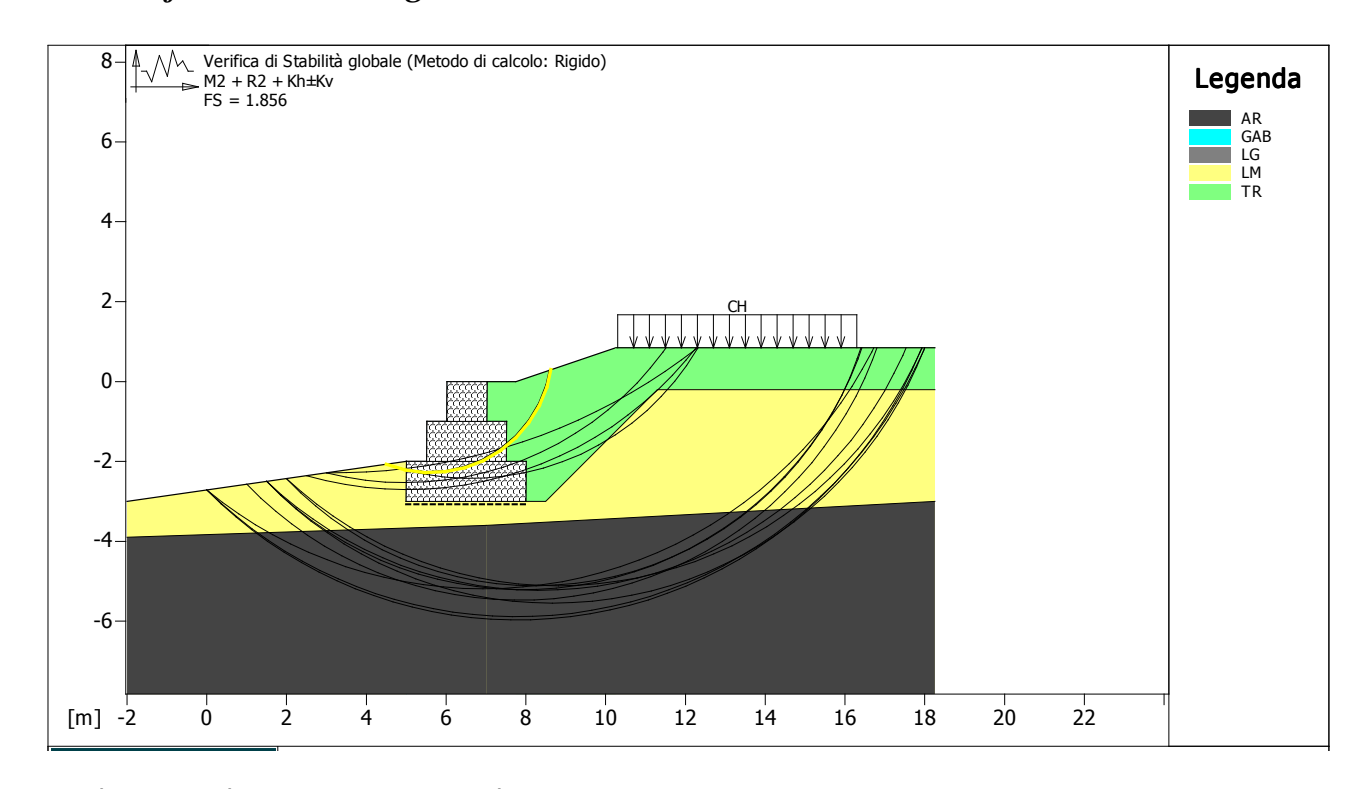
Sisma:

Classe: Sisma

Accelerazione $[m/s^2]$: Orizzontale = 2.45 Verticale = 1.28

9. VERIFICHE

9.1 Verifica di stabilità globale : M2 + R2 + Kh±Kv



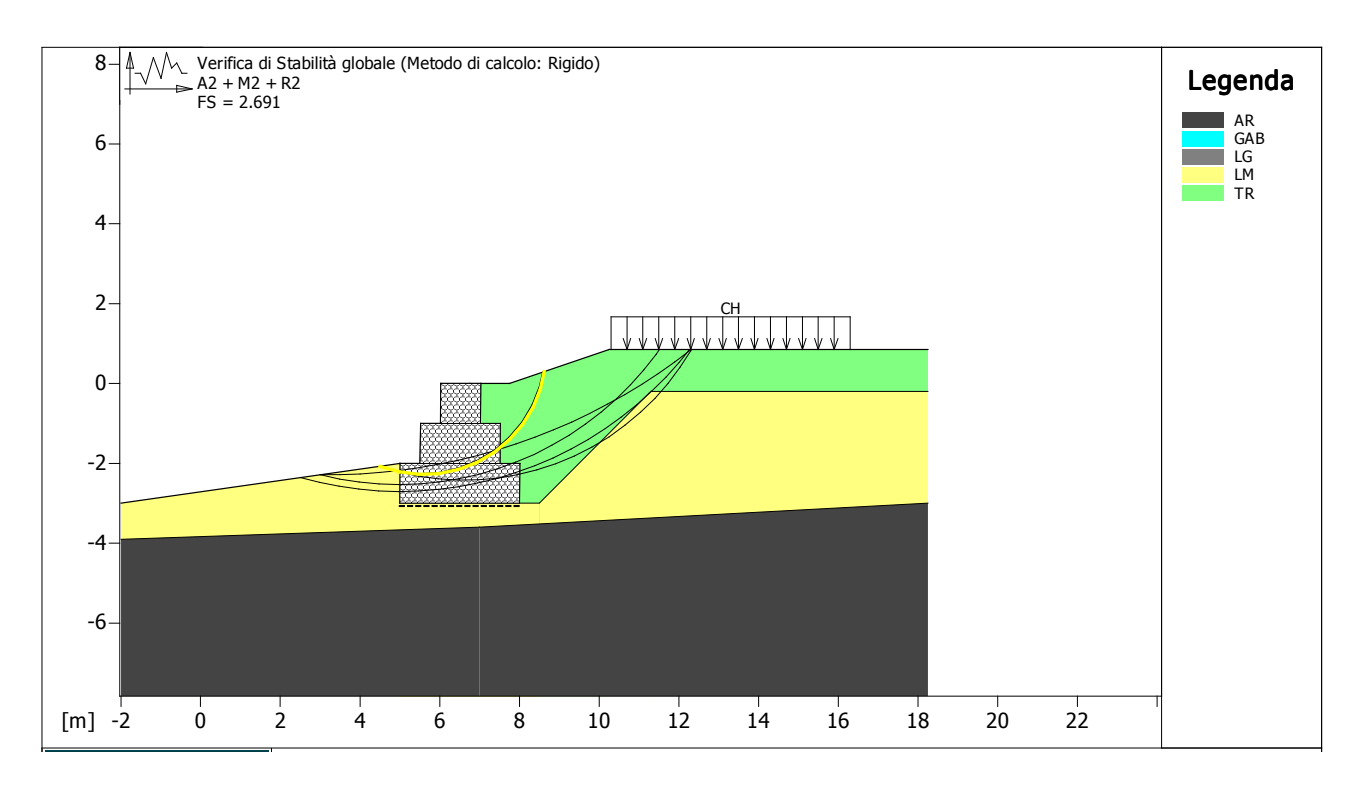
Combinazione di carico : M2 + R2 + Kh±Kv Calcolo delle forze nei rinforzi col metodo rigido Ricerca di superfici circolari critiche col metodo di Janbu

Coefficiente di sicurezza minimo calcolato : 1.856

Segmento di partenza,	ascisse [m]	Segmento di arrivo, ascisse [m]		
Primo punto	Secondo punto	Primo punto	Secondo punto	
0.00	5.00	8.00	18.00	
Numero punti avvio supe	erfici sul segmento di partenza		11	
Numero totale superfici	di prova		110	
Lunghezza segmenti dell	e superfici	[m]:	0.50	
Angolo limite orario		[°]:	0.00	
Angolo limite antiorario		[°]:	0.00	

Fattore	Classe
1.00	Variabile - sfavorevole
1.00	Sisma
1.25	Coeff. Parziale - tangente dell'angolo di resistenza a taglio
1.25	Coeff. Parziale - Coesione efficace
1.40	Coeff. Parziale - Resistenza non drenata
1.00	Coeff. Parziale - Peso dell'unità di volume - favorevole
1.00	Coeff. Parziale - Peso dell'unità di volume - sfavorevole
1.00	Fs Rottura Rinforzi
1.00	Fs Sfilamento Rinforzi
1.10	Coeff. Parziale R - Stabilità

9.2. Verifica di stabilità globale : A2 + M2 + R2



Combinazione di carico : A2 + M2 + R2

Calcolo delle forze nei rinforzi col metodo rigido

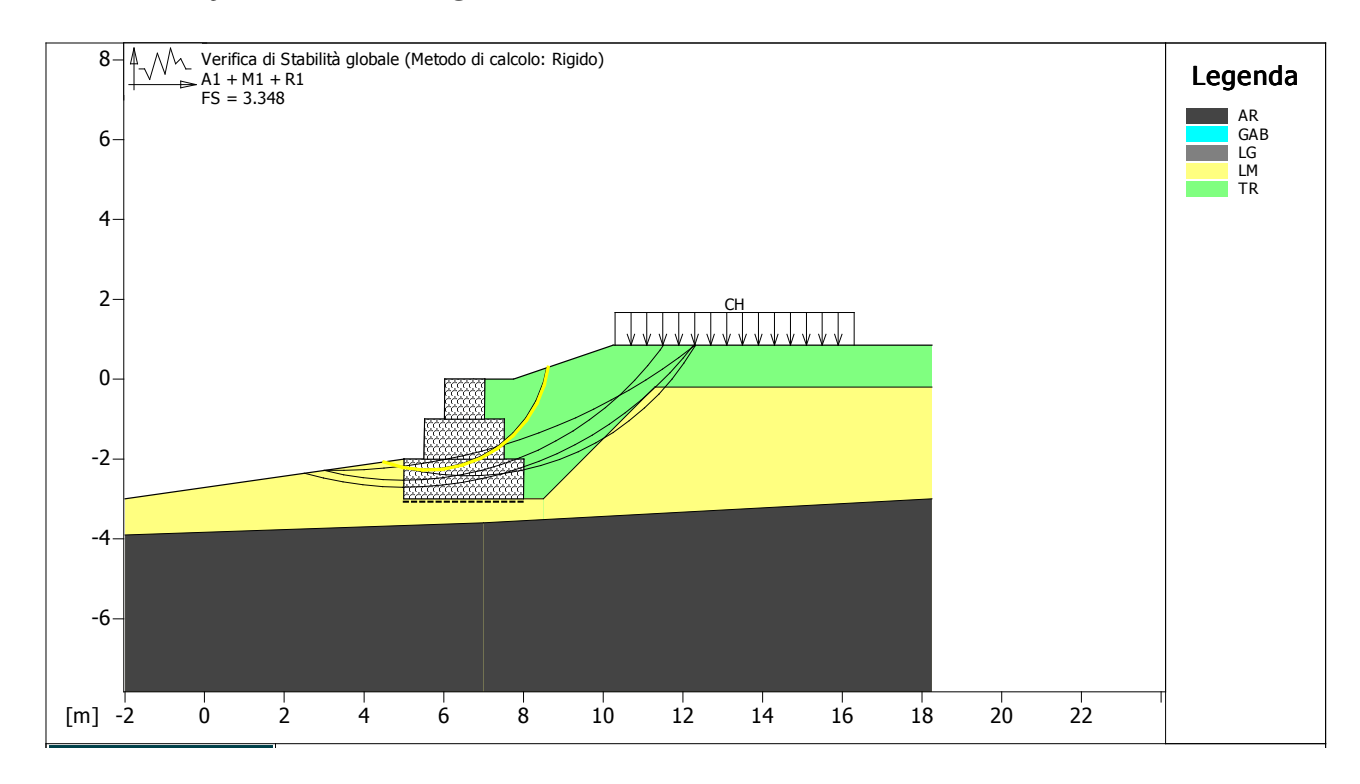
Ricerca di superfici circolari critiche col metodo di Janbu

Coefficiente di sicurezza minimo calcolato : 2.691

Segmento di partenza	a, ascisse [m]	Segmento di a	Segmento di arrivo, ascisse [m]		
Primo punto	Secondo punto	Primo punto	Secondo punto		
0.00	5.00	8.00	18.00		
Numero punti avvio sup	erfici sul segmento di parte	enza:	11		
Numero totale superfici	di prova	:	110		
	lle superfici		0.50		
			0.00		
Angolo limite antiorario		го л .	0.00		

Fattore	Classe
1.30	Variabile - sfavorevole
0.00	Sisma
1.25	Coeff. Parziale - tangente dell'angolo di resistenza a taglio
1.25	Coeff. Parziale - Coesione efficace
1.40	Coeff. Parziale - Resistenza non drenata
1.00	Coeff. Parziale - Peso dell'unità di volume - favorevole
1.00	Coeff. Parziale - Peso dell'unità di volume - sfavorevole
1.00	Fs Rottura Rinforzi
1.00	Fs Sfilamento Rinforzi
1.10	Coeff. Parziale R - Stabilità

9.3. Verifica di stabilità globale : A1 + M1 + R1



Combinazione di carico : A1 + M1 + R1 Calcolo delle forze nei rinforzi col metodo rigido

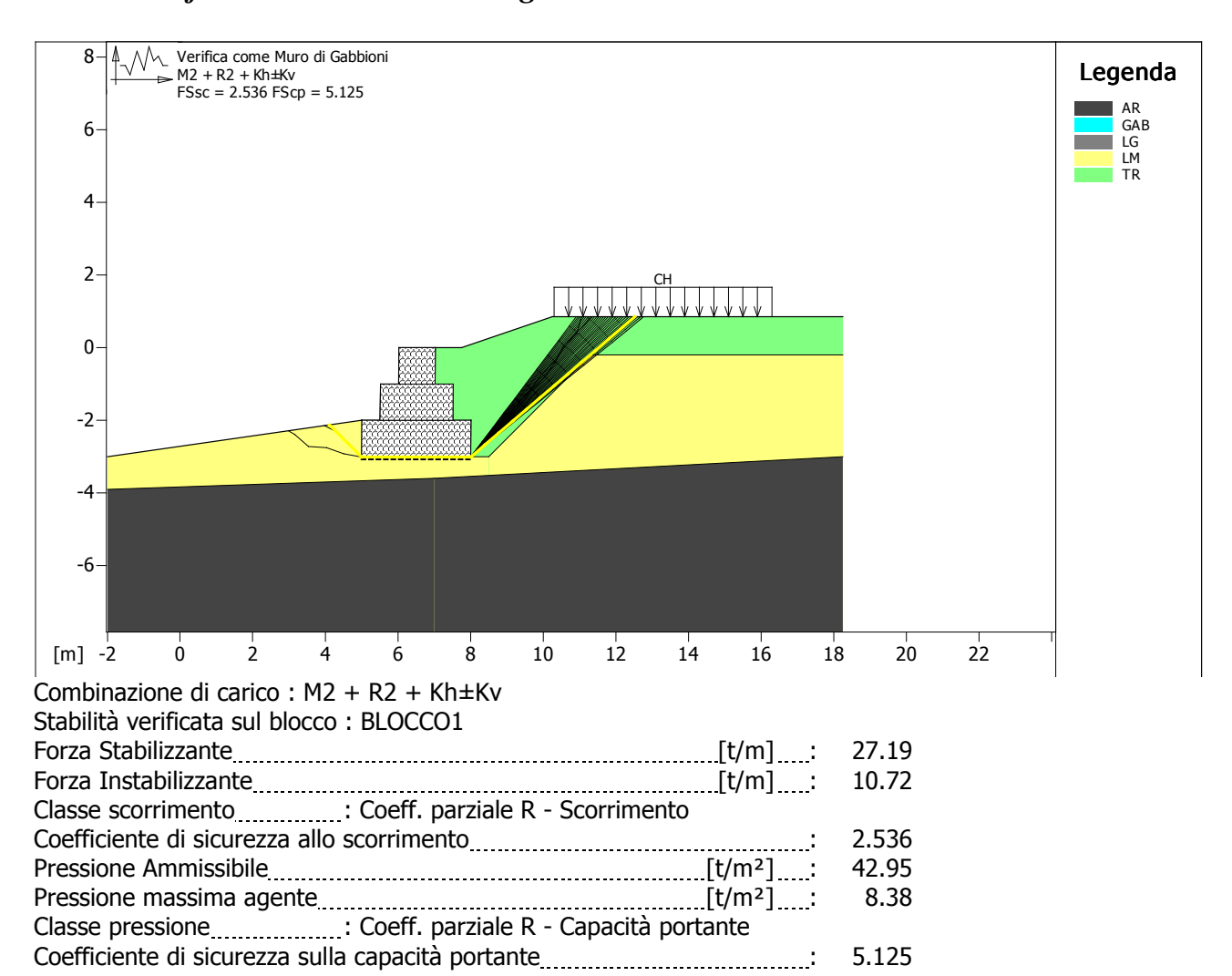
Ricerca di superfici circolari critiche col metodo di Janbu

Coefficiente di sicurezza minimo calcolato : 3.348

Segmento di partenza, ascisse [m]		Segmento di a	irrivo, ascisse [m]
Primo punto	Secondo punto	Primo punto	Secondo punto
0.00	5.00	8.00	18.00
Numero punti avvio su	iperfici sul segmento di partenza		11
Numero totale superfi	ci di prova		110
	elle superfici		0.50
Angolo limite orario		[°] :	0.00
	o <u> </u>		0.00

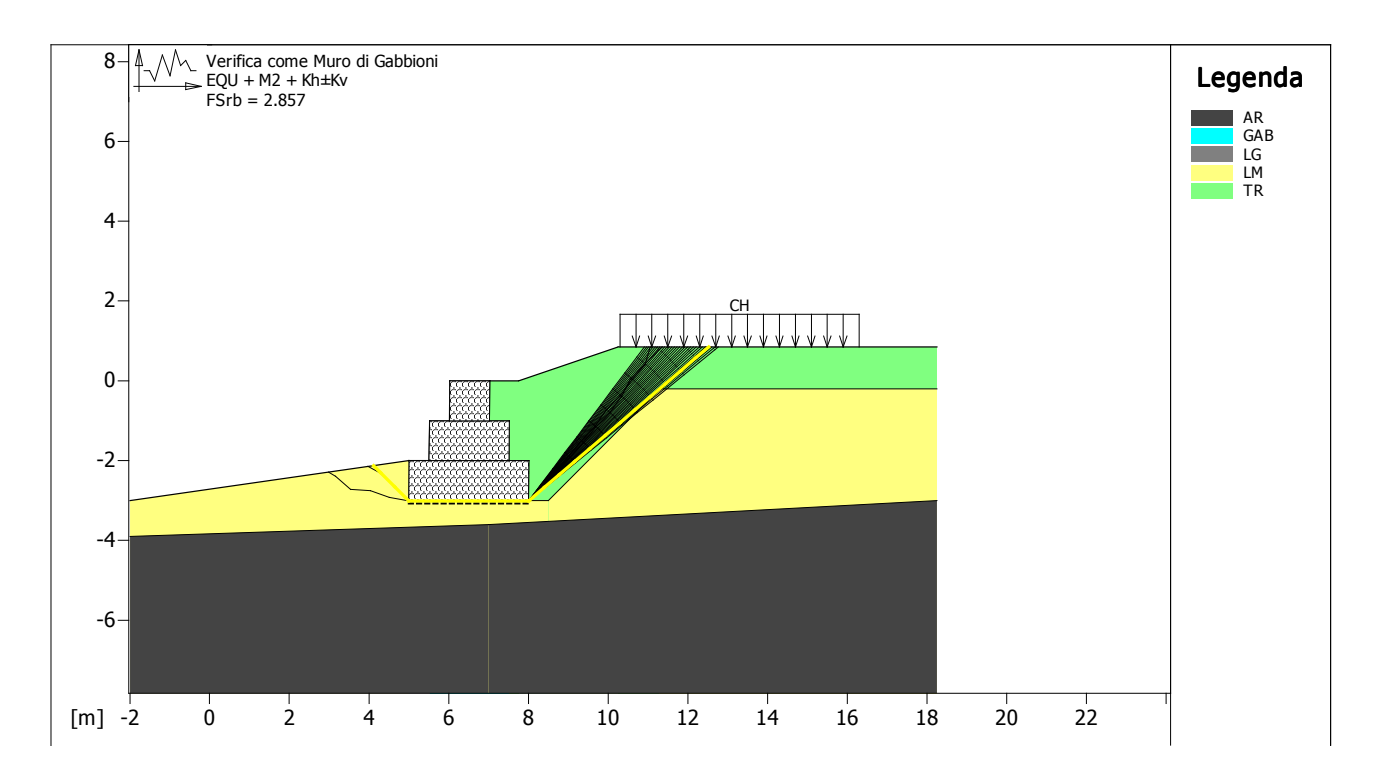
Fattore	Classe
1.50	Variabile - sfavorevole
0.00	Sisma
1.00	Coeff. Parziale - tangente dell'angolo di resistenza a taglio
1.00	Coeff. Parziale - Coesione efficace
1.00	Coeff. Parziale - Resistenza non drenata
1.00	Coeff. Parziale - Peso dell'unità di volume - favorevole
1.30	Coeff. Parziale - Peso dell'unità di volume - sfavorevole
1.00	Fs Rottura Rinforzi
1.00	Fs Sfilamento Rinforzi
1.00	Coeff. Parziale R – Stabilità

9.4. Verifica come muro di sostegno : $M2 + R2 + Kh \pm Kv$



Fattore	Classe
1.00	Variabile - sfavorevole
1.00	Sisma
1.25	Coeff. Parziale - tangente dell'angolo di resistenza a taglio
1.25	Coeff. Parziale - Coesione efficace
1.40	Coeff. Parziale - Resistenza non drenata
1.00	Coeff. Parziale - Peso dell'unità di volume - favorevole
1.00	Coeff. Parziale - Peso dell'unità di volume - sfavorevole
1.00	Coeff. parziale R - Scorrimento
1.00	Coeff. parziale R - Capacità portante

9.5. Verifica come muro di sostegno : $EQU + M2 + Kh \pm Kv$



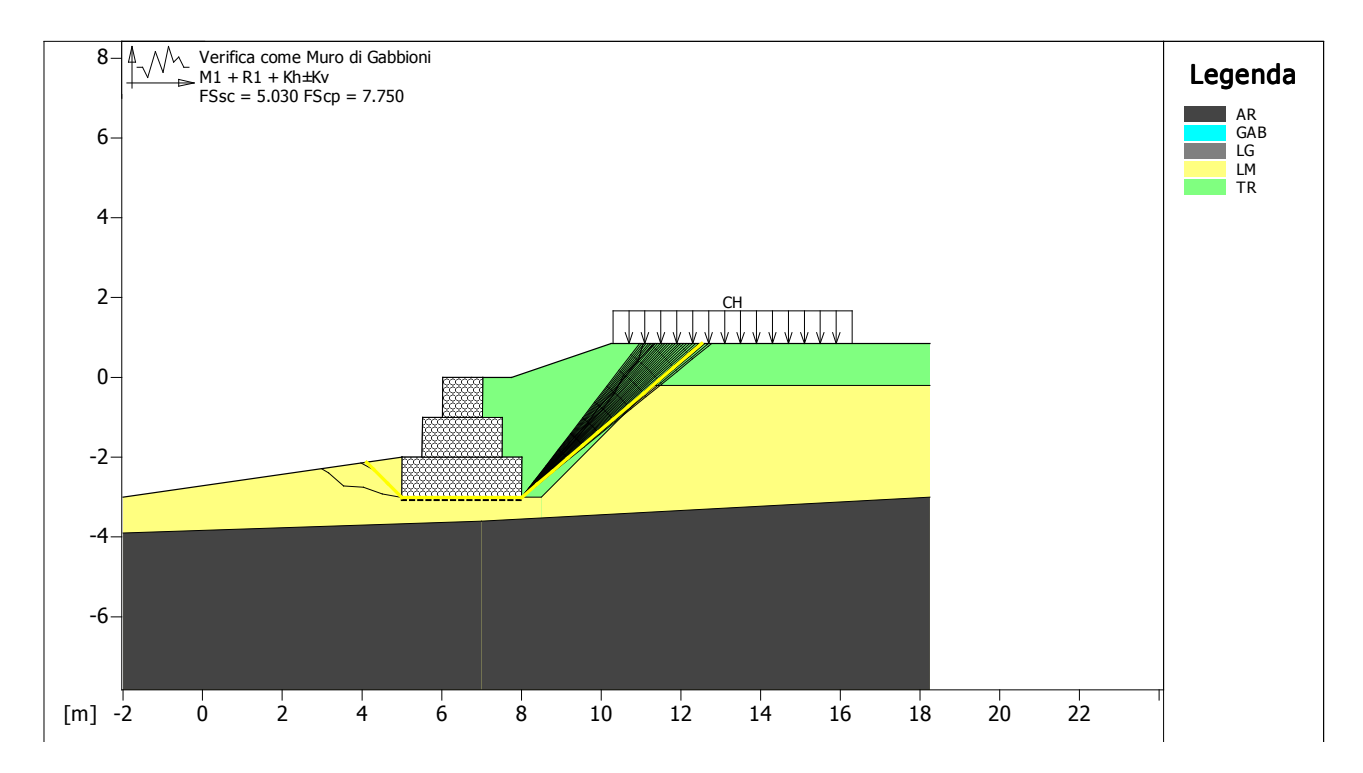
Combinazione di carico : EQU + M2 + Kh±Kv Stabilità verificata sul blocco: BLOCCO1

Momento Stabilizzante [t*m/m] : 35.28 Momento Instabilizzante [t*m/m] : Classe momento :: Coeff. parziale R - Ribaltamento 12.35

Coefficiente di sicurezza al ribaltamento_____: 2.857

Fattore	Classe
1.00	Variabile - sfavorevole
1.00	Sisma
1.25	Coeff. Parziale - tangente dell'angolo di resistenza a taglio
1.25	Coeff. Parziale - Coesione efficace
1.40	Coeff. Parziale - Resistenza non drenata
1.00	Coeff. Parziale - Peso dell'unità di volume - favorevole
1.00	Coeff. Parziale - Peso dell'unità di volume - sfavorevole
1.00	Coeff, parziale R - Ribaltamento

9.6. Verifica come muro di sostegno : $M1 + R1 + Kh \pm Kv$

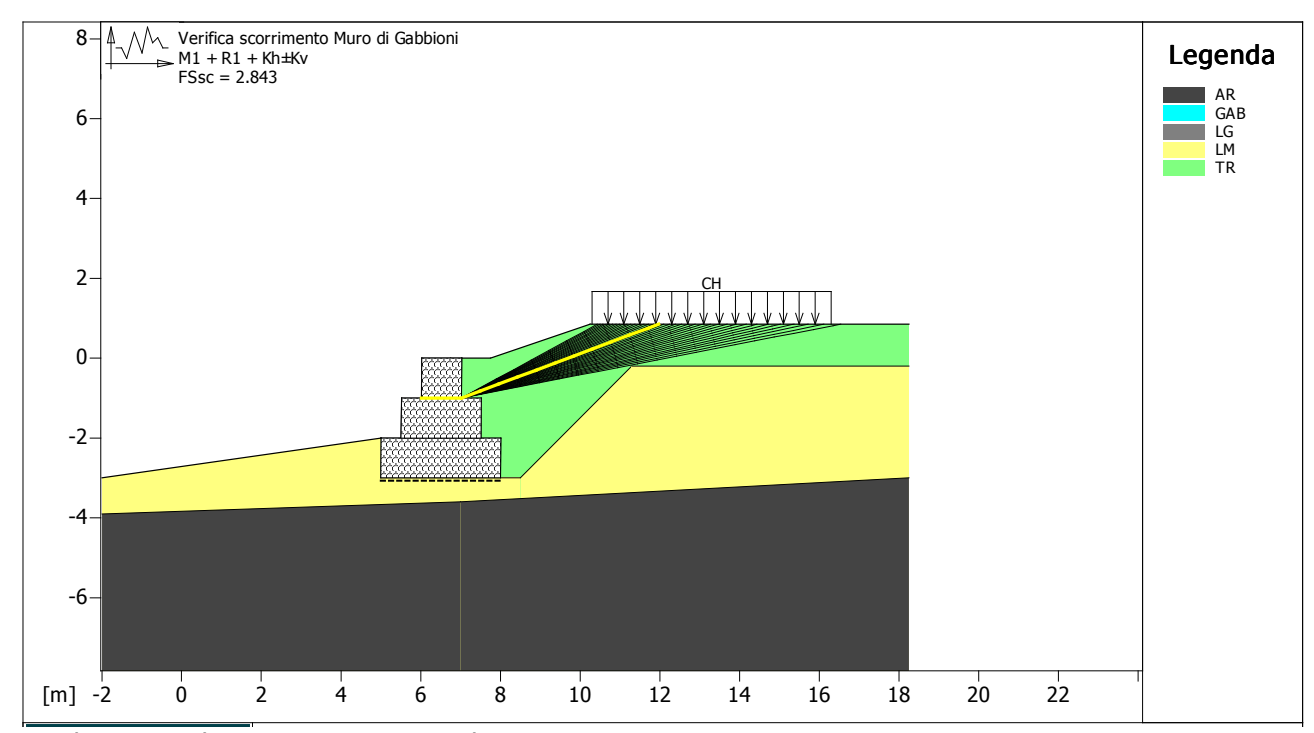


Combinazione di carico : M1 + R1 + Kh±Kv Stabilità verificata sul blocco : BLOCCO1

Stabilita Verilleata Sar Brocce	. 5200001		
Forza Stabilizzante		[t/m] :	37.82
Forza Instabilizzante		[t/m] :	7.52
Classe scorrimento	: Coeff. parziale R - Scorrimento		
Coefficiente di sicurezza allo	scorrimento	:	5.030
Classe pressione	: Coeff. parziale R - Capacità poi	tante	
Coefficiente di sicurezza sull			7.750

Fattore	Classe
1.00	Variabile - sfavorevole
1.00	Sisma
1.00	Coeff. Parziale - tangente dell'angolo di resistenza a taglio
1.00	Coeff. Parziale - Coesione efficace
1.00	Coeff. Parziale - Resistenza non drenata
1.00	Coeff. Parziale - Peso dell'unità di volume - favorevole
1.00	Coeff. Parziale - Peso dell'unità di volume - sfavorevole
1.00	Coeff. parziale R - Scorrimento
1.00	Coeff. parziale R - Capacità portante

9.7. Verifica di stabilità interna : $M1 + R1 + Kh \pm Kv$



Combinazione di carico : M1 + R1 + Kh±Kv Stabilità verificata sul blocco : BLOCCO1

Forza Stabilizzante [t/m] : 3.40
Forza Instabilizzante [t/m] : 1.20

Classe scorrimento : Coeff. parziale R - Scorrimento

Coefficiente di sicurezza allo scorrimento : 2.843

Fattore	Classe
1.00	Variabile - sfavorevole
1.00	Sisma
1.00	Coeff. Parziale - tangente dell'angolo di resistenza a taglio
1.00	Coeff. Parziale - Coesione efficace
1.00	Coeff. Parziale - Resistenza non drenata
1.00	Coeff. Parziale - Peso dell'unità di volume - favorevole
1.00	Coeff. Parziale - Peso dell'unità di volume - sfavorevole
1.00	Coeff. parziale R - Scorrimento

10. CARATTERISTICHE GEOTECNICHE DEI TERRENI IN CD

Classe coesione : Coeff. Parziale	
Coesione : Coeff. Parziale :	[t/m²]: 0.90 tangente dell'angolo di resistenza a taglio
Angolo d'attrito	: 0.00
Classe di peso : Coeff. Parziale	Peso dell'unità di volume - sfavorevole
Peso specifico sopra falda	
Peso specifico in falda	
Modulo elastico	
Coefficiente di Poisson	
	e : GABBIONI
Classe coesione : Coeff. Parziale	
Coesione	[t/m²]: 1.70
Classe d'attrito : Coeff. Parziale	
Angolo d'attrito	[°] : 40.00
Rapporto di pressione interstiziale (Ru)	
Classe di peso : Coeff. Parziale	
Peso specifico sopra falda	
Peso specifico in falda	[t/m³]: 1.90
Modulo elastico	
Coefficiente di Poisson	: 0.30
Terreno : LG Descrizione	e : LIMO GRIGIASTRO
Terreno : LG Classe coesione : Coeff. Parziale	
Classe coesione : Coeff. Parziale Coesione	Coesione efficace [t/m²] : 0.01
	Coesione efficace [t/m²] : 0.01
Classe coesione : Coeff. Parziale Coesione : Coeff. Parziale Angolo d'attrito : Coeff. Parziale Coeff. Parzial	Coesione efficace [t/m²] : 0.01 tangente dell'angolo di resistenza a taglio [°] : 20.00
Classe coesione : Coeff. Parziale Coesione : Coeff. Parziale Classe d'attrito : Coeff. Parziale Angolo d'attrito : Rapporto di pressione interstiziale (Ru)	Coesione efficace [t/m²] : 0.01 tangente dell'angolo di resistenza a taglio [°] : 20.00 : 0.00
Classe coesione : Coeff. Parziale : Coesione : Coeff. Parziale : Coeff. Parziale : Angolo d'attrito : Coeff. Parziale : Rapporto di pressione interstiziale (Ru) : Coeff. Parziale : Coeff. Parz	Coesione efficace [t/m²] : 0.01 tangente dell'angolo di resistenza a taglio [°] : 20.00 0.00 Peso dell'unità di volume - favorevole
Classe coesione : Coeff. Parziale Coesione : Coeff. Parziale Classe d'attrito : Coeff. Parziale Angolo d'attrito : Rapporto di pressione interstiziale (Ru) : Coeff. Parziale Peso specifico sopra falda	Coesione efficace
Classe coesione : Coeff. Parziale : Coesione : Coeff. Parziale : Coeff. Parziale : Angolo d'attrito : Coeff. Parziale : Rapporto di pressione interstiziale (Ru) : Coeff. Parziale : Coeff. Parz	Coesione efficace
Classe coesione : Coeff. Parziale Coesione : Coeff. Parziale Classe d'attrito : Coeff. Parziale Angolo d'attrito : Coeff. Parziale (Ru) Classe di peso : Coeff. Parziale Peso specifico sopra falda : Peso specifico in falda : Coeff. Parziale : Peso specifico in falda : Coeff. Parziale : Coeff. Parzial	Coesione efficace
Classe coesione : Coeff. Parziale Coesione : Coeff. Parziale Classe d'attrito : Coeff. Parziale Angolo d'attrito : Coeff. Parziale (Ru) Classe di peso : Coeff. Parziale Peso specifico sopra falda : Peso specifico in falda : Coeff. Parziale : Peso specifico in falda : Coeff. Parziale : Coeff. Parzial	Coesione efficace
Classe coesione : Coeff. Parziale Coesione : Coeff. Parziale Classe d'attrito : Coeff. Parziale Angolo d'attrito : Coeff. Parziale (Ru) Classe di peso : Coeff. Parziale Peso specifico sopra falda Peso specifico in falda : Modulo elastico Coefficiente di Poisson : Coeff. Parziale Peso specifico in falda : Coefficiente di Poisson	Coesione efficace
Classe coesione : Coeff. Parziale Coesione : Coeff. Parziale Classe d'attrito : Coeff. Parziale Angolo d'attrito : Coeff. Parziale Angolo d'attrito : Coeff. Parziale (Ru) : Classe di peso : Coeff. Parziale Peso specifico sopra falda Peso specifico in falda : Modulo elastico : Coefficiente di Poisson : Descrizione : LM : Descrizione : LM : Coeff. Parziale : Descrizione : LM : Coeff. Parziale : Coefficiente di Poisson : Coefficiente di Poisson : Coefficiente di Poisson : Coefficiente : LM : Coeff. Parziale : Coef	Coesione efficace
Classe coesione : Coeff. Parziale Coesione : Coeff. Parziale Classe d'attrito : Coeff. Parziale Angolo d'attrito : Coeff. Parziale (Ru) Classe di peso : Coeff. Parziale Peso specifico sopra falda Peso specifico in falda : Modulo elastico Coefficiente di Poisson : Coeff. Parziale Classe coesione : Coeff. Parziale : Co	Coesione efficace [t/m²] : 0.01 tangente dell'angolo di resistenza a taglio [°] : 20.00 [0.00] Peso dell'unità di volume - favorevole [t/m³] : 1.80 [t/m³] : 1.80 [t/m²] : 0.00 [t/m²] : 0.30 e: ARGILLE CON LIMO SABBIOSE Coesione efficace
Classe coesione : Coeff. Parziale Coesione : Coeff. Parziale Classe d'attrito : Coeff. Parziale Angolo d'attrito : Coeff. Parziale (Ru) Classe di peso : Coeff. Parziale Peso specifico sopra falda Peso specifico in falda : Modulo elastico Coefficiente di Poisson : Coeff. Parziale Classe coesione : Coeff. Parziale Coes	Coesione efficace
Classe coesione : Coeff. Parziale Coesione : Coeff. Parziale Classe d'attrito : Coeff. Parziale Angolo d'attrito : Coeff. Parziale (Ru) Classe di peso : Coeff. Parziale Peso specifico sopra falda Peso specifico in falda : Modulo elastico Coefficiente di Poisson : Coeff. Parziale Coesione : Coeff. Parziale Coesione : Coeff. Parziale : Coeff. Parziale : Coesione : Coeff. Parziale : Coeff.	Coesione efficace
Classe coesione : Coeff. Parziale Coesione : Coeff. Parziale Classe d'attrito : Coeff. Parziale Angolo d'attrito : Coeff. Parziale (Ru) Classe di peso : Coeff. Parziale Peso specifico sopra falda Peso specifico in falda : Modulo elastico Coefficiente di Poisson : Coeff. Parziale Coesione : Coeff. Parziale Coesione : Coeff. Parziale : Coeff. Parziale : Coesione : Coeff. Parziale : Coeff.	Coesione efficace
Classe coesione : Coeff. Parziale Coesione : Coeff. Parziale Classe d'attrito : Coeff. Parziale Angolo d'attrito : Coeff. Parziale (Ru) Classe di peso : Coeff. Parziale Peso specifico sopra falda Peso specifico in falda : Modulo elastico : Coefficiente di Poisson : Coeff. Parziale : Coefficiente di Poisson : Coeff. Parziale : Coesione : Coeff. Parziale : Coesione : Coeff. Parziale : Coesione : Coeff. Parziale : Angolo d'attrito : Coeff. Parziale : Rapporto di pressione interstiziale (Ru) : Coeff. Parziale : Rapporto di pressione interstiziale (Ru) : Coeff. Parziale : Rapporto di pressione interstiziale (Ru) : Coeff. Parziale : Rapporto di pressione interstiziale (Ru) : Coeff. Parziale :	Coesione efficace
Classe coesione : Coeff. Parziale Coesione : Coeff. Parziale Classe d'attrito : Coeff. Parziale Angolo d'attrito : Coeff. Parziale (Ru) Classe di peso : Coeff. Parziale Peso specifico sopra falda Peso specifico in falda : Modulo elastico Coefficiente di Poisson : Coeff. Parziale Coesione : Coeff. Parziale Coesione : Coeff. Parziale Angolo d'attrito : Coeff. Parziale (Ru) Classe di peso : Coeff. Parziale (Ru) Classe di peso : Coeff. Parziale	Coesione efficace
Classe coesione : Coeff. Parziale Coesione : Coeff. Parziale Classe d'attrito : Coeff. Parziale Angolo d'attrito : Coeff. Parziale (Ru) Classe di peso : Coeff. Parziale Peso specifico sopra falda Peso specifico in falda : Modulo elastico : Coefficiente di Poisson : Coeff. Parziale : Coefficiente di Poisson : Coeff. Parziale : Coesione : Coeff. Parziale : Coesione : Coeff. Parziale : Coesione : Coeff. Parziale : Angolo d'attrito : Coeff. Parziale : Rapporto di pressione interstiziale (Ru) : Coeff. Parziale : Rapporto di pressione interstiziale (Ru) : Coeff. Parziale : Rapporto di pressione interstiziale (Ru) : Coeff. Parziale : Rapporto di pressione interstiziale (Ru) : Coeff. Parziale :	Coesione efficace
Classe coesione : Coeff. Parziale Coesione : Coeff. Parziale Classe d'attrito : Coeff. Parziale Angolo d'attrito : Coeff. Parziale (Ru) Classe di peso : Coeff. Parziale Peso specifico sopra falda Peso specifico in falda : Coeff. Parziale : Coefficiente di Poisson : Coeff. Parziale : Coefficiente di Poisson : Coeff. Parziale : Coesione : Coeff. Parziale : Coesione : Coeff. Parziale : Peso specifico sopra falda : Coeff. Parziale : Peso specifico in falda : Peso specifico in falda : Peso specifico in falda : Coeff. Parziale :	Coesione efficace
Classe coesione : Coeff. Parziale Coesione : Coeff. Parziale Classe d'attrito : Coeff. Parziale Angolo d'attrito : Coeff. Parziale (Ru) Classe di peso : Coeff. Parziale Peso specifico sopra falda Peso specifico in falda : Modulo elastico Coefficiente di Poisson : Coeff. Parziale Coesione : Coeff. Parziale Coesione : Coeff. Parziale Coesione : Coeff. Parziale Angolo d'attrito : Coeff. Parziale Angolo d'attrito : Coeff. Parziale (Ru) Classe di peso : Coeff. Parziale Peso specifico sopra falda : Coeff. Parziale Pe	Coesione efficace

Terreno: TR	Descrizione : RILEVATO		
Classe coesione : Co	peff. Parziale - Coesione efficace		
Coesione	[t/m²]	:	0.00
Classe d'attrito : Co	peff. Parziale - tangente dell'angolo di resi	stenz	a a taglio
Angolo d'attrito	[°]	:	28.00
Rapporto di pressione intersti	ziale (Ru)	:	0.00
	peff. Parziale - Peso dell'unità di volume -		revole
Peso specifico sopra falda	[t/m³]	:	1.83
	[t/m³]		
Modulo alactico	[t/m²]		0.00
Coefficiente di Poisson		:	0.30

11. PROFILI STRATIGRAFICI

Strato: STR1		Descrizion	ne: STR1				
Terreno : TR							
X	Υ	X	Υ	X	Υ	Х	Υ
[m]	[m]	[m]	[m]	[m]	[m]	[m]	[m]
6.75	-0.50	7.75	0.00	10.25	0.85	18.25	0.85
Strato: STR2		Descrizion	ne: STR2				
Terreno : LM							
X	Υ	Χ	Υ	Χ	Υ	Χ	Υ
[m]	[m]	[m]	[m]	[m]	[m]	[m]	[m]
-2.00	-3.00	5.00	-2.00	7.00	-3.00	8.50	-3.00
11.30	-0.20	18.25	-0.20				
Strato: STR3		Descrizion	ne: STR3				
Terreno: AR							
Χ	Υ	Χ	Υ	Χ	Υ	X	Υ
[m]	[m]	[m]	[m]	[m]	[m]	[m]	[m]
-2.00	-3.90	7.00	-3.60	18.25	-3.00		

12. MURI IN GABBIONI

Muro : BLOCCO1 Coordinate Origine Rotazione muro	[m]: Ascissa [°]=	0.00	5.00	Ordinata=	-3.00
Materia	le riempimento gabbioni	: GA	В		
	di riempimento a tergo				
	di copertura				
	di fondazione				
Strato	Lunghezza [m]	Altezza [m]		Distanza [m]	
1	3.00	1.00		0.00	
2	2.00	1.00		0.50	
3	1.00	1.00		1.00	

13. CARICHI

Pressione : CH Descrizione : carico stradale

Classe: Variabile - sfavorevole

Intensità $[t/m^2] = 2.00$ Inclinazione $[^{\circ}] = 0.00$

Ascissa_____[m] : Da = 10.30 To = 16.30

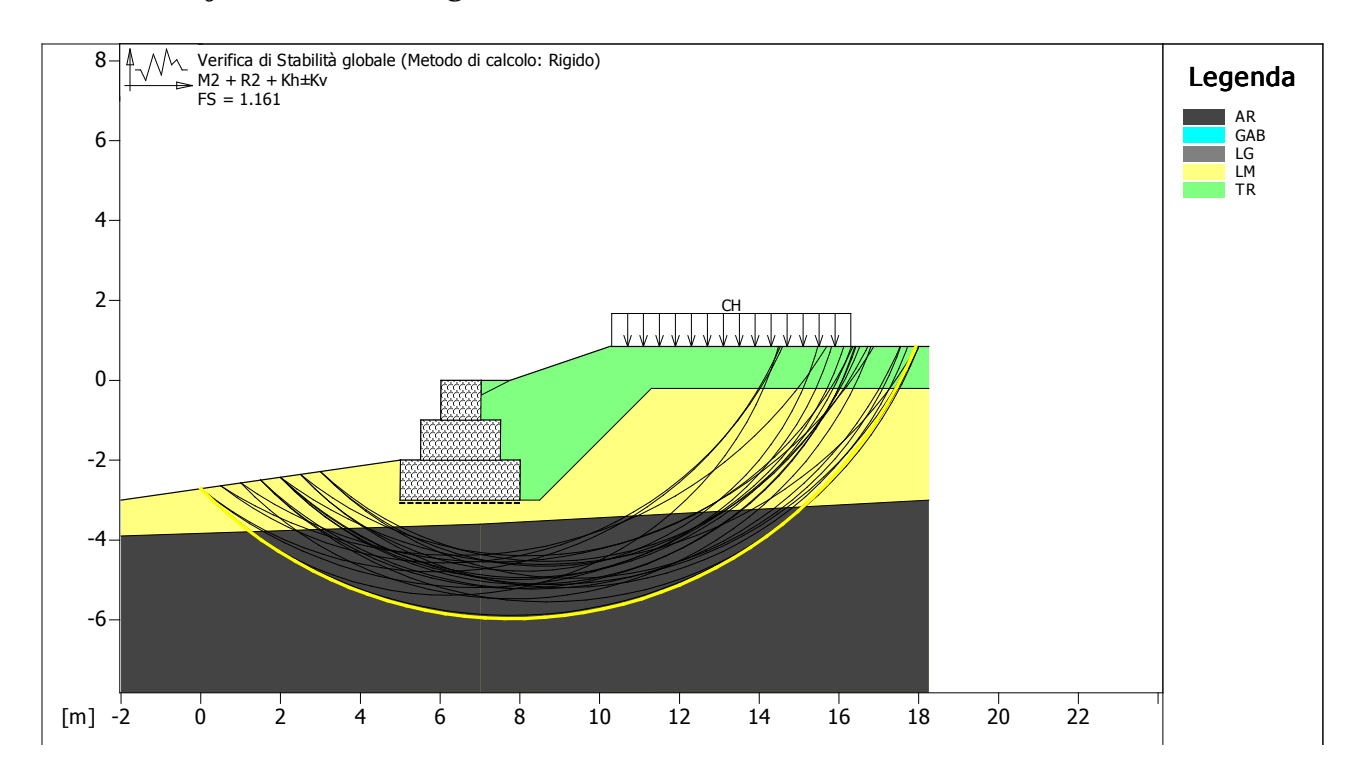
Sisma:

Classe: Sisma

Accelerazione $[m/s^2]$: Orizzontale = 2.45 Verticale = 1.28

14. VERIFICHE

14.1 Verifica di stabilità globale : $M2 + R2 + Kh \pm Kv$



Combinazione di carico : M2 + R2 + Kh±Kv Calcolo delle forze nei rinforzi col metodo rigido Ricerca di superfici circolari critiche col metodo di Janbu

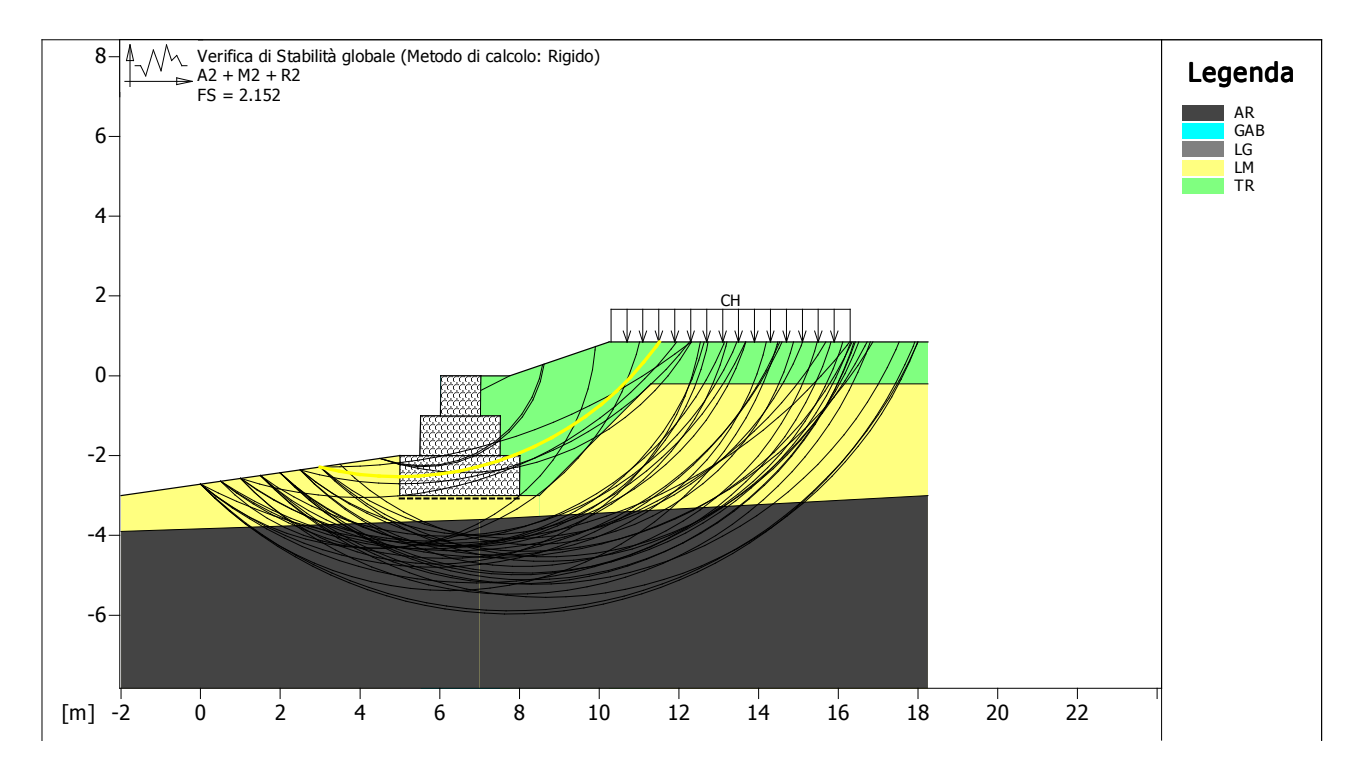
Coefficiente di sicurezza minimo calcolato : 1.161

Intervallo di ricerca delle superfici

Segmento di partenza, ascisse [m] Segmento di arriv	vo, ascisse [m]
Primo punto Secondo punto Primo punto	Secondo punto
0.00 5.00 8.00	18.00
Numero punti avvio superfici sul segmento di partenza :	11
Numero totale superfici di prova:	110
).50
Angolo limite orario [°] : 0	0.00
Angolo limite antiorario [°] : C	0.00

Fattore	Classe
1.00	Variabile - sfavorevole
1.00	Sisma
1.25	Coeff. Parziale - tangente dell'angolo di resistenza a taglio
1.25	Coeff. Parziale - Coesione efficace
1.40	Coeff. Parziale - Resistenza non drenata
1.00	Coeff. Parziale - Peso dell'unità di volume - favorevole
1.00	Coeff. Parziale - Peso dell'unità di volume - sfavorevole
1.00	Fs Rottura Rinforzi
1.00	Fs Sfilamento Rinforzi
1.10	Coeff. Parziale R - Stabilità

14.2 Verifica di stabilità globale : A2 + M2 + R2



Calcolo delle forze nei rinforzi col metodo rigido Ricerca di superfici circolari critiche col metodo di Janbu Coefficiente di sicurezza minimo calcolato

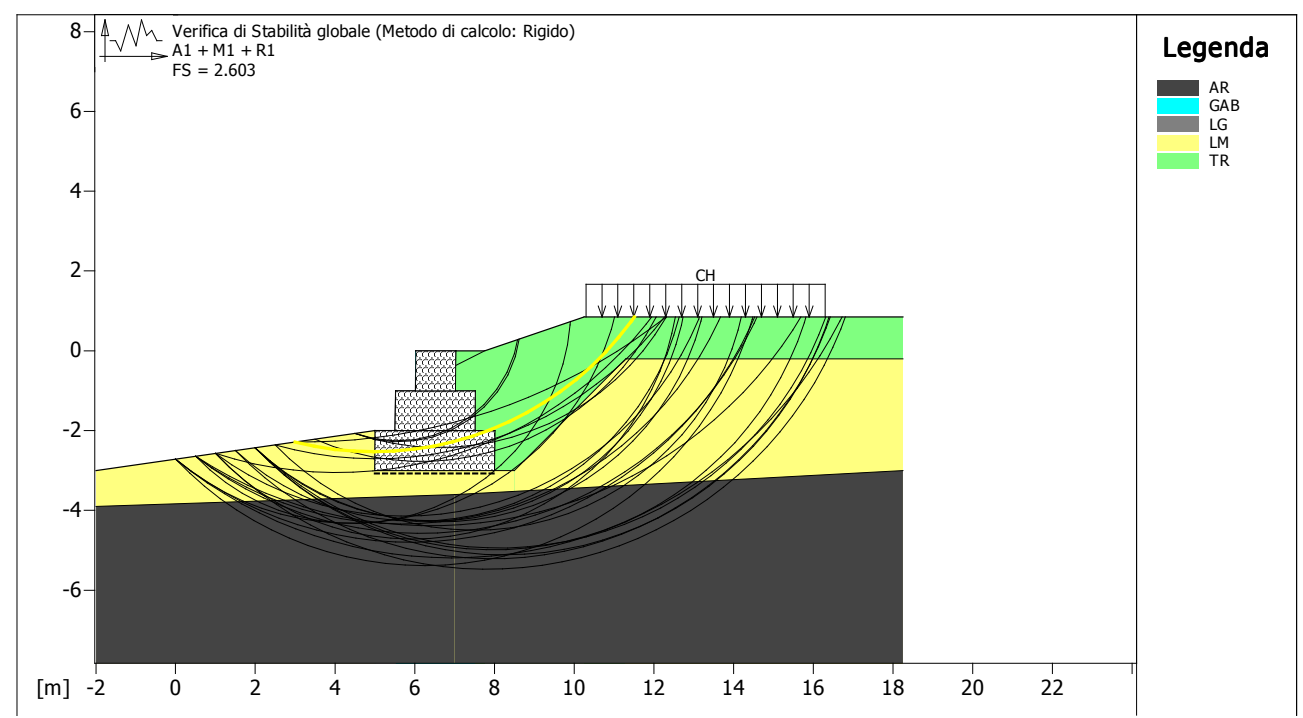
Coefficiente di sicurezza minimo calcolato : 2.152

Intervallo di ricerca delle superfici

Segmento di partenza	a, ascisse [m]	Segmento di a	arrivo, ascisse [m]
Primo punto	Secondo punto	Primo punto	Secondo punto
0.00	5.00	8.00	18.00
Numero punti avvio sup	perfici sul segmento di partenza		11
Numero totale superfici	di prova		110
	lle superfici		0.50
Angolo limite orario		[°] :	0.00
Angolo limite antiorario			0.00
_			

Fattore	Classe	
1.30	Variabile - sfavorevole	
0.00	Sisma	
1.25	Coeff. Parziale - tangente dell'angolo di resistenza a taglio	
1.25	Coeff. Parziale - Coesione efficace	
1.40	Coeff. Parziale - Resistenza non drenata	
1.00	Coeff. Parziale - Peso dell'unità di volume - favorevole	
1.00	Coeff. Parziale - Peso dell'unità di volume - sfavorevole	
1.00	Fs Rottura Rinforzi	
1.00	Fs Sfilamento Rinforzi	
1.10	Coeff. Parziale R – Stabilità	

$14.3 \ Verifica\ di\ stabilità\ globale: A1 + M1 + R1$



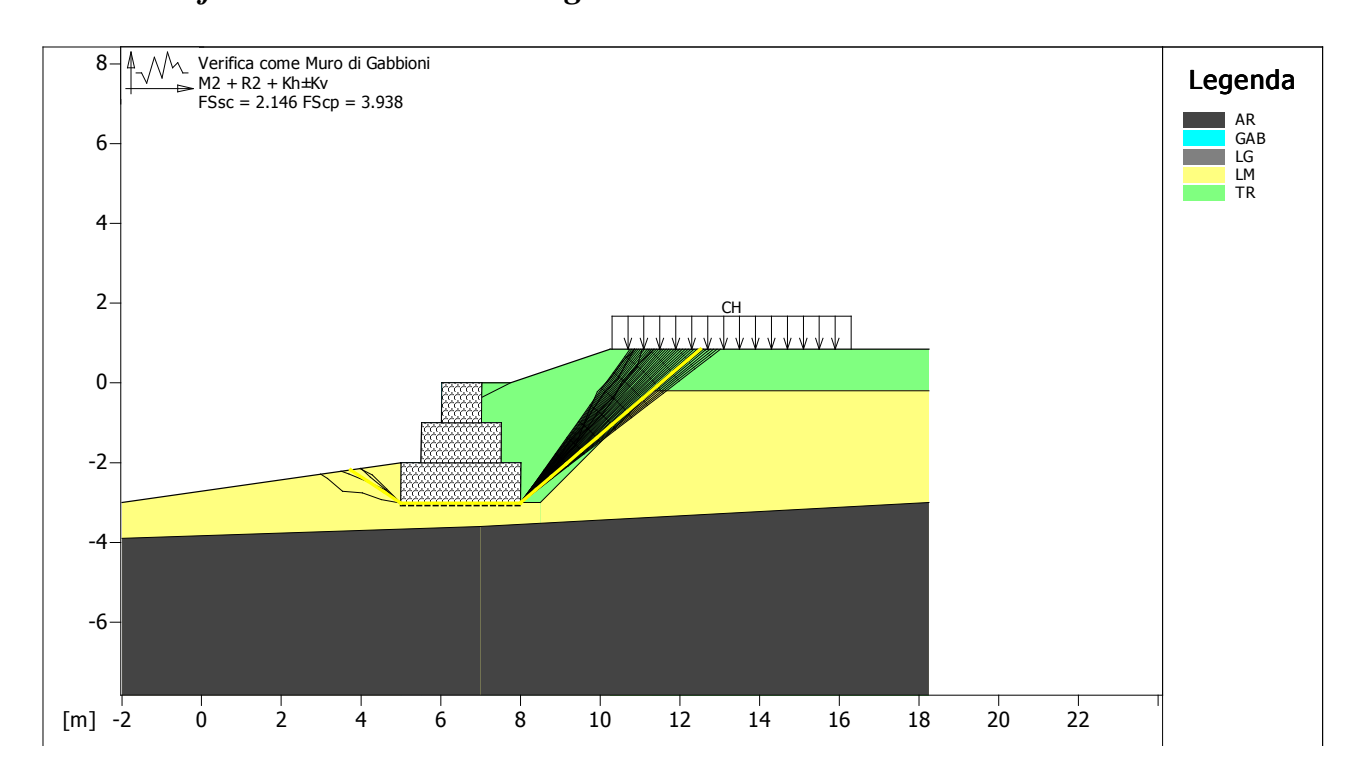
Combinazione di carico : A1 + M1 + R1 Calcolo delle forze nei rinforzi col metodo rigido Ricerca di superfici circolari critiche col metodo di Janbu

Coefficiente di sicurezza minimo calcolato : 2.603

Segmento di partenza	a, ascisse [m]	Segmento di a	arrivo, ascisse [m]
Primo punto	Secondo punto	Primo punto	Secondo punto
0.00	5.00	8.00	18.00
Numero punti avvio sup	perfici sul segmento di partenza		11
Numero totale superfici	di prova		110
Lunghezza segmenti de	elle superfici	[m]:	0.50
Angolo limite orario		[°]:	0.00
Angolo limite antiorario		[°] :	0.00

	Cl
Fattore	Classe
1.50	Variabile - sfavorevole
0.00	Sisma
1.00	Coeff. Parziale - tangente dell'angolo di resistenza a taglio
1.00	Coeff. Parziale - Coesione efficace
1.00	Coeff. Parziale - Resistenza non drenata
1.00	Coeff. Parziale - Peso dell'unità di volume - favorevole
1.30	Coeff. Parziale - Peso dell'unità di volume - sfavorevole
1.00	Fs Rottura Rinforzi
1.00	Fs Sfilamento Rinforzi
1.00	Coeff. Parziale R - Stabilità

14.4 Verifica come muro di sostegno : $M2 + R2 + Kh \pm Kv$

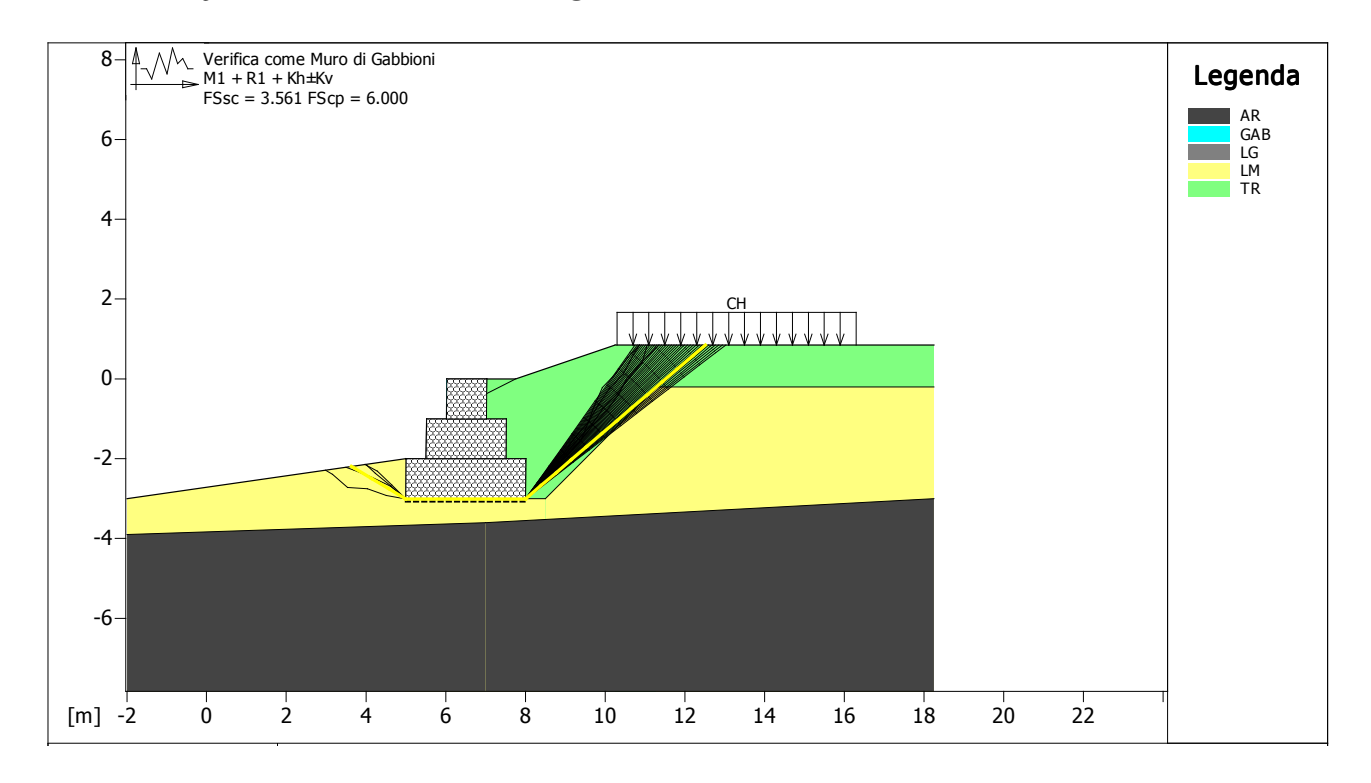


Combinazione di carico : M2 + R2 + Kh±Kv Stabilità verificata sul blocco : BLOCCO1

Forza Stabilizzante		[t/m]	:	23.11
Forza Instabilizzante		[t/m]	:	10.77
Classe scorrimento	.: Coeff. parziale R -	Scorrimento		
Coefficiente di sicurezza allo	scorrimento		:	2.146
Pressione Ammissibile		[t/m²]	:	33.13
Pressione massima agente		[t/m²]	:	8.41
Classe pressione				
Coefficiente di sicurezza sul	a capacità portante		:	3.938

Fattore	Classe
1.00	Variabile - sfavorevole
1.00	Sisma
1.25	Coeff. Parziale - tangente dell'angolo di resistenza a taglio
1.25	Coeff. Parziale - Coesione efficace
1.40	Coeff. Parziale - Resistenza non drenata
1.00	Coeff. Parziale - Peso dell'unità di volume - favorevole
1.00	Coeff. Parziale - Peso dell'unità di volume - sfavorevole
1.00	Coeff. parziale R - Scorrimento
1.00	Coeff. parziale R - Capacità portante

$14.5 \ Verifica\ come\ muro\ di\ sostegno: M1 + R1 + Kh \pm Kv$

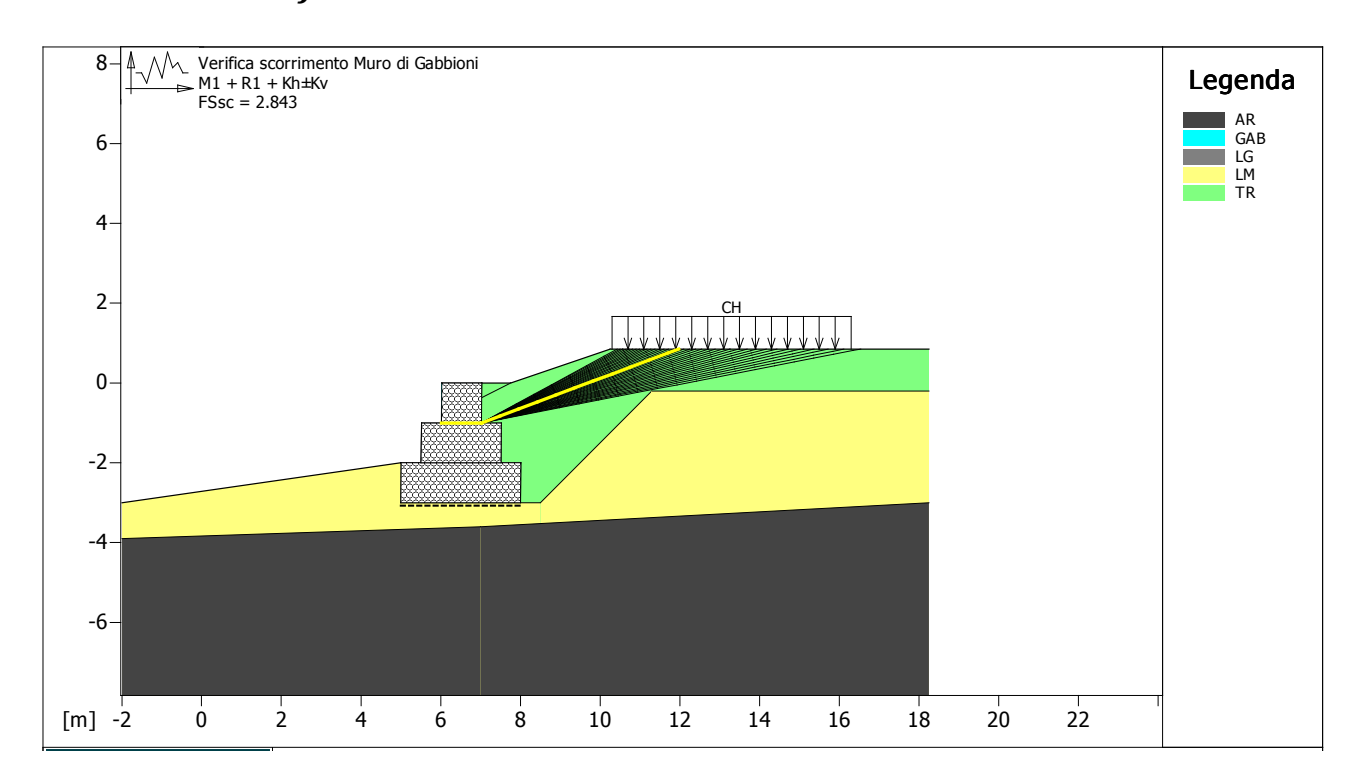


Combinazione di carico : M1 + R1 + Kh±Kv Stabilità verificata sul blocco : BLOCCO1

Forza Stabilizzante		[t/m] :	26.55
		F. 1 7	
	: Coeff. parziale R - Scorrimento		
Coefficiente di sicurezza allo s	scorrimento	:	3.561
			38.43
Pressione massima agente		[t/m²] :	6.40
Classe pressione	: Coeff. parziale R - Capacità po	rtante	
Coefficiente di sicurezza sulla	capacità portante	:	6.000

Fattore	Classe
1.00	Variabile - sfavorevole
1.00	Sisma
1.00	Coeff. Parziale - tangente dell'angolo di resistenza a taglio
1.00	Coeff. Parziale - Coesione efficace
1.00	Coeff. Parziale - Resistenza non drenata
1.00	Coeff. Parziale - Peso dell'unità di volume - favorevole
1.00	Coeff. Parziale - Peso dell'unità di volume - sfavorevole
1.00	Coeff. parziale R - Scorrimento
1.00	Coeff. parziale R - Capacità portante

14.6 Verifica di stabilità interna : M1 + R1 + Kh±Kv



Combinazione di carico : M1 + R1 + Kh±Kv Stabilità verificata sul blocco : BLOCCO1

Forza Stabilizzante	[t/m]:	3.40
Forza Instabilizzante	[t/m] :	1.20

Classe scorrimento : Coeff. parziale R - Scorrimento : 2.843

Fattore	Classe
1.00	Variabile - sfavorevole
1.00	Sisma
1.00	Coeff. Parziale - tangente dell'angolo di resistenza a taglio
1.00	Coeff. Parziale - Coesione efficace
1.00	Coeff. Parziale - Resistenza non drenata
1.00	Coeff. Parziale - Peso dell'unità di volume - favorevole
1.00	Coeff. Parziale - Peso dell'unità di volume - sfavorevole
1.00	Coeff. parziale R – Scorrimento